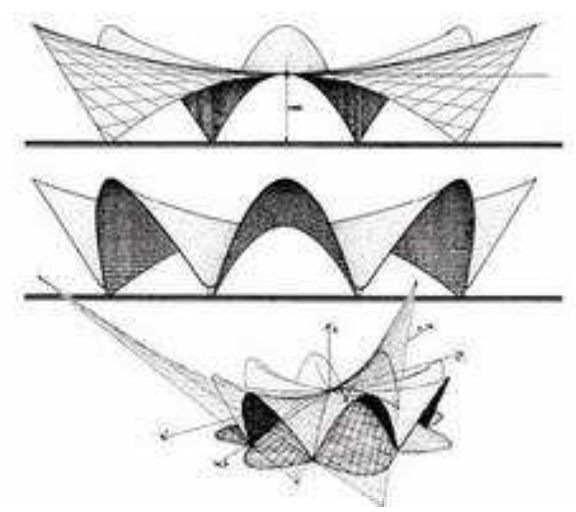
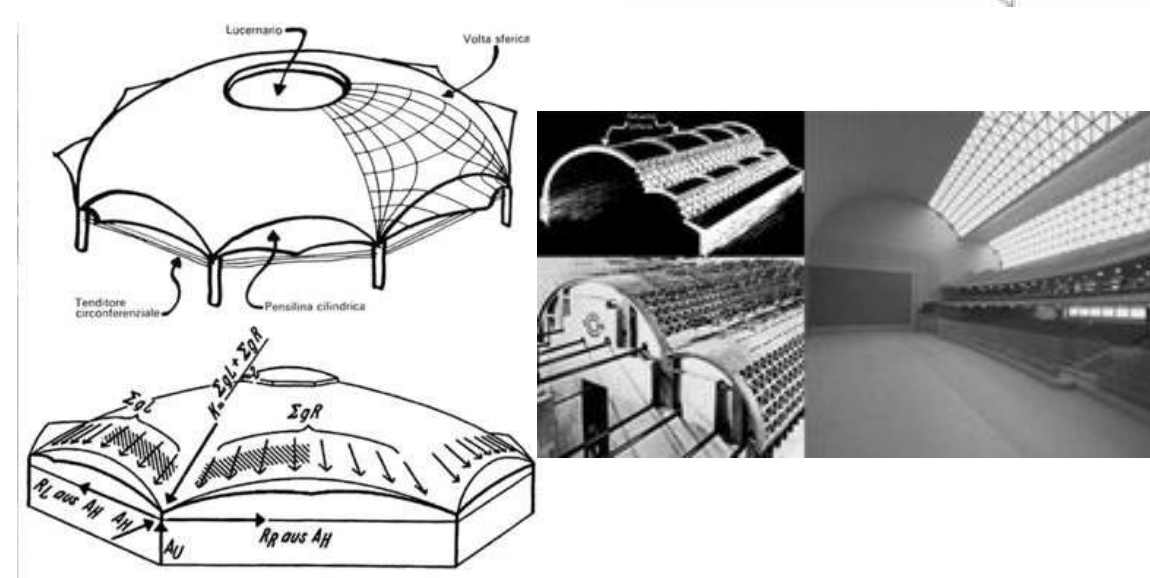
# Strutture resistenti per forma

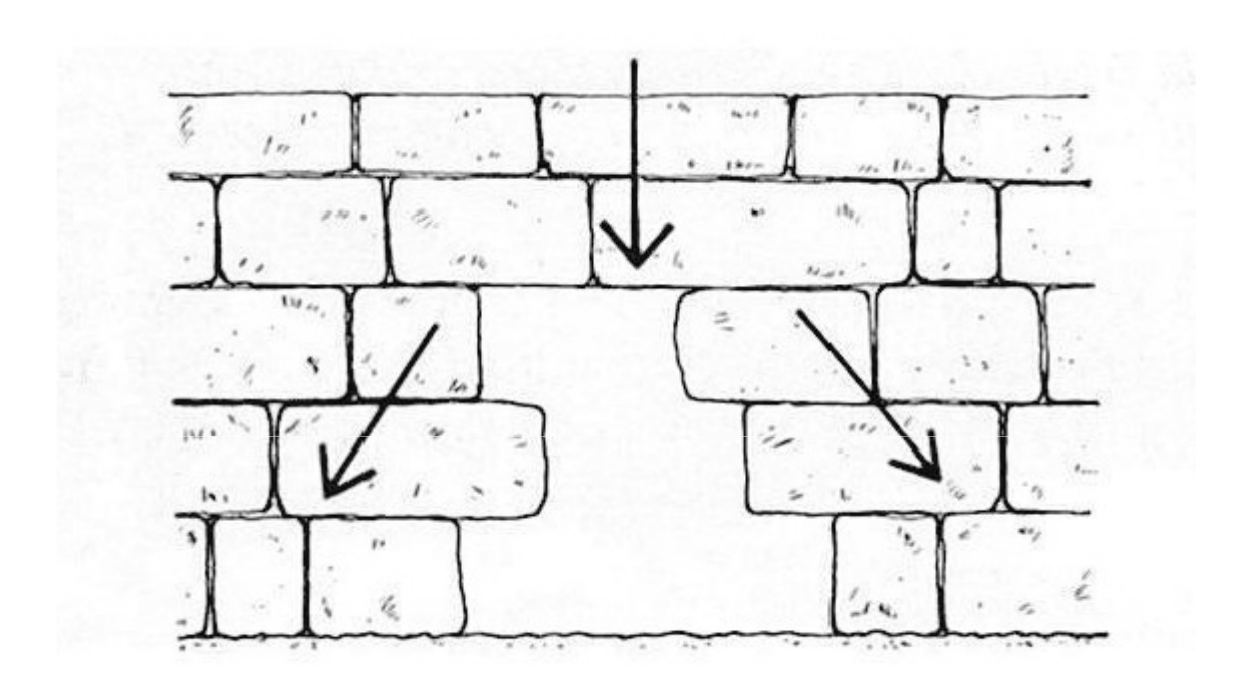
Arco Fune Volta Cupola





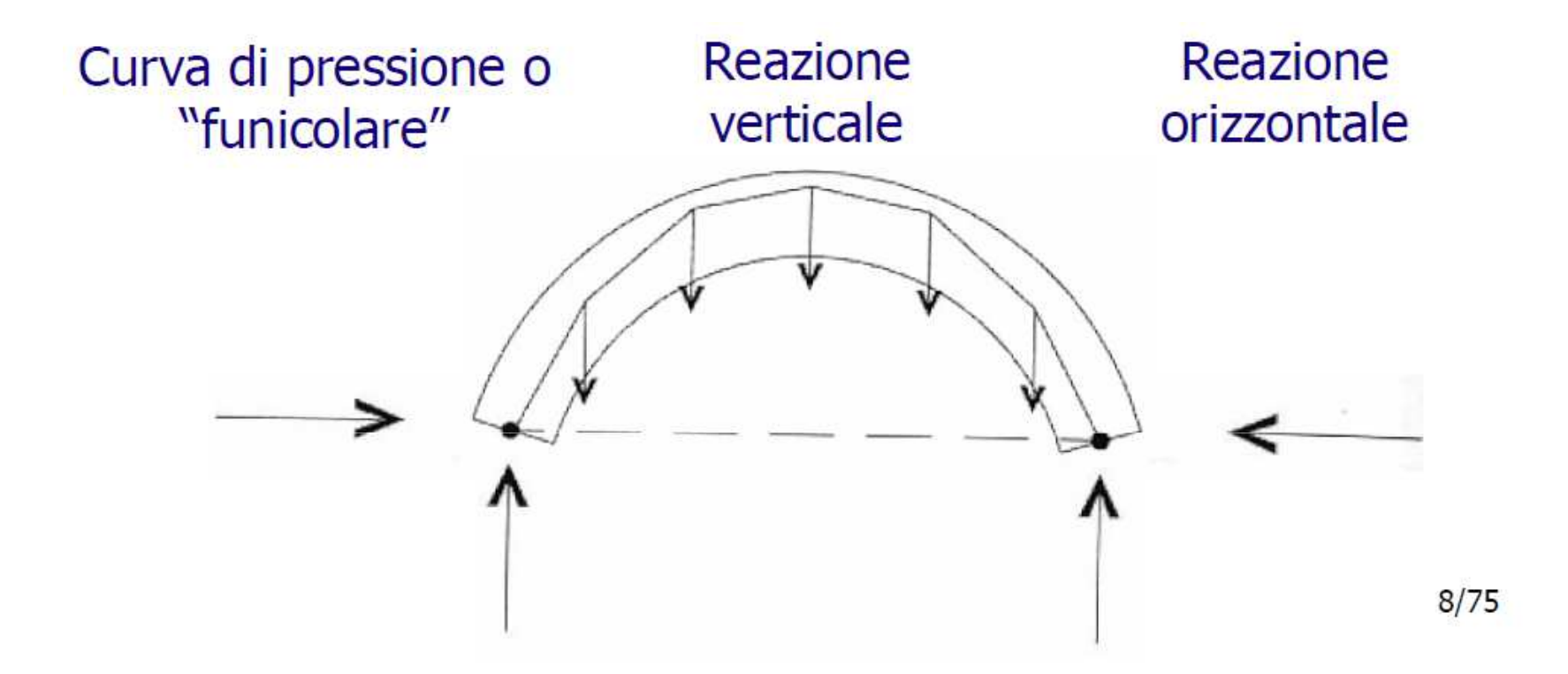


### arco



La sollecitazione di compressione rappresenta praticamente l'unica sollecitazione cui la pietra e la muratura sono in grado di resistere.

#### arco



L'arco è un elemento strutturale in grado di incanalare, con la sua traiettoria curvilinea, le sollecitazioni prodotte dai carichi trasformandole in forze prevalenti di compressione.

# funi

### Cavi di trasmissione

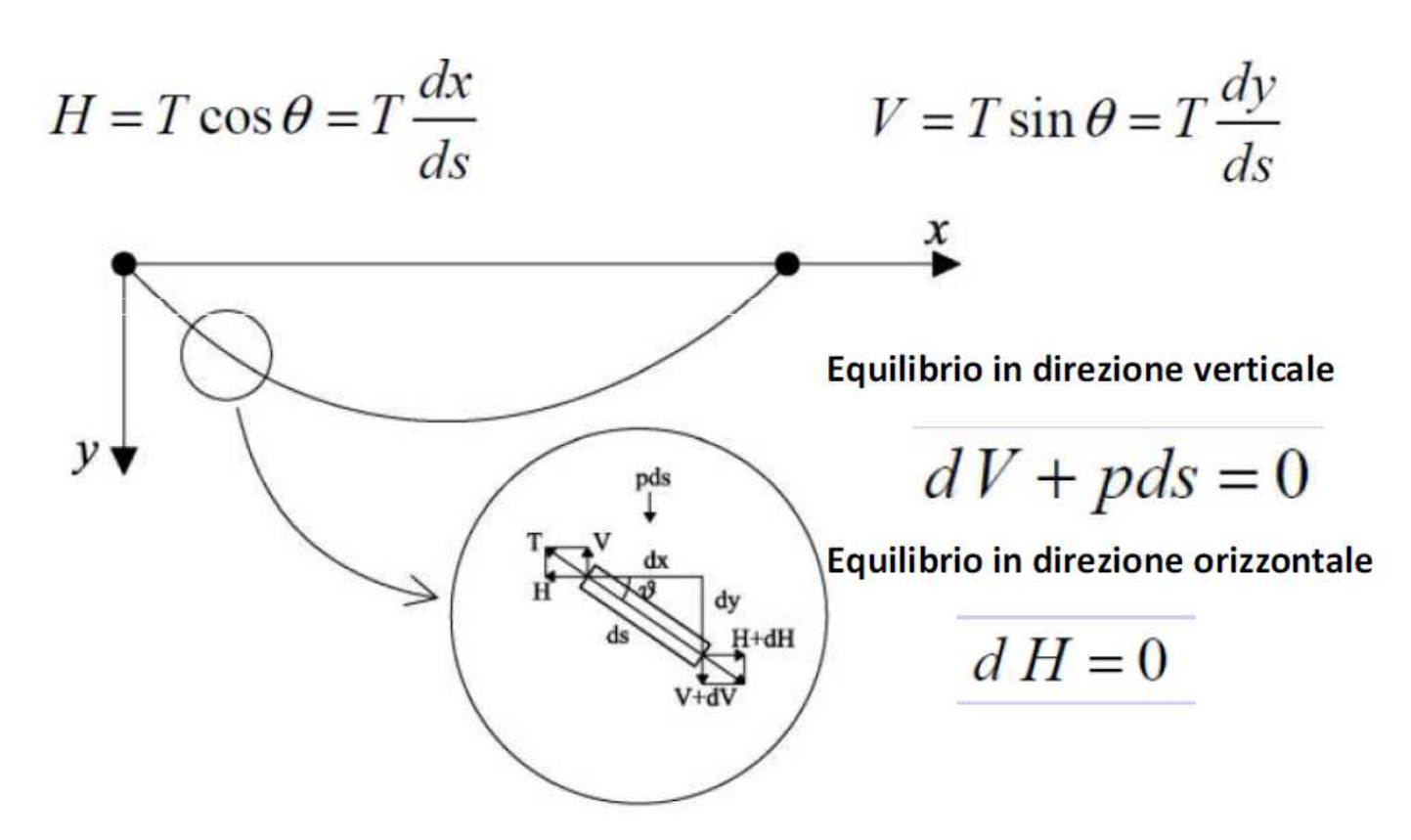
### ponti sospesi





Strutture soggette solo a sforzo normale (trazione)

## funi



Strutture soggette solo a sforzo normale (trazione)

## Volte

Le volte fiorirono in età romana come naturale derivazione dell'arco; mentre quest'ultimo era destinato a delimitare aperture nei muri, le volte consentivano la copertura degli ambienti.

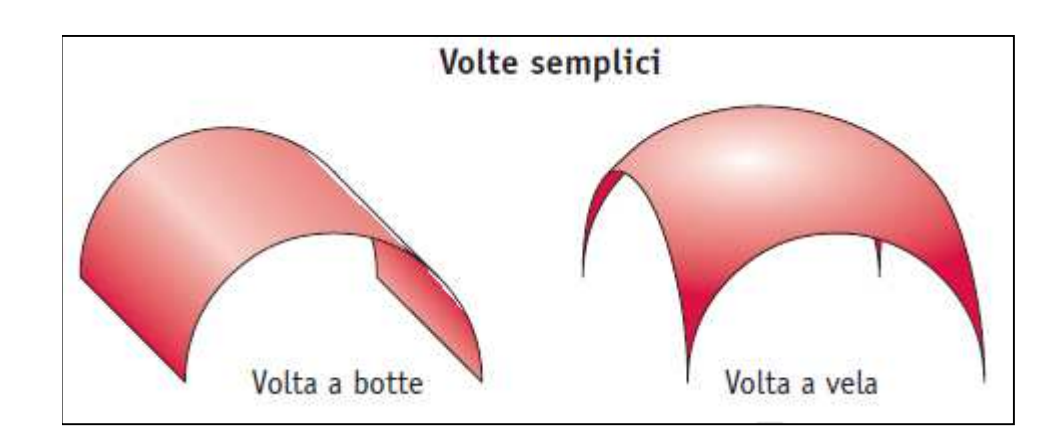
Copyright © 2010 Zanichelli Editore SpA, Bologna [6237]

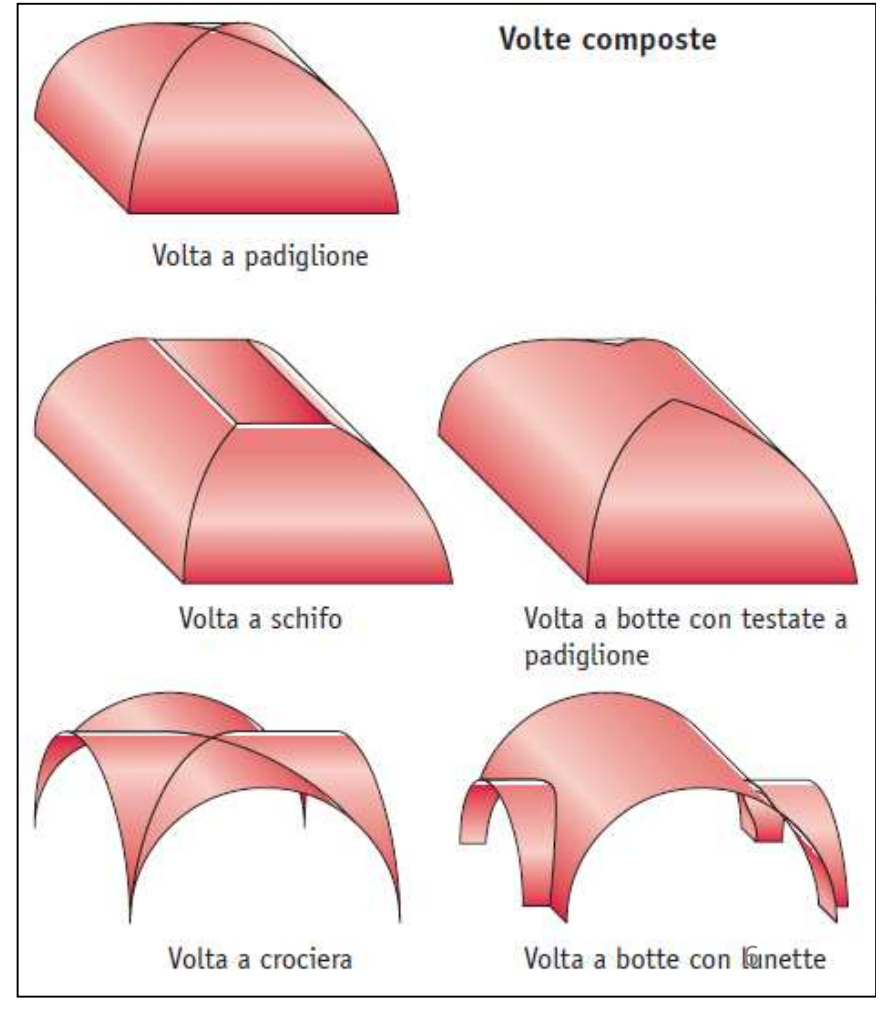
La loro realizzazione era basata sulla tecnica costruttiva delle murature in calcestruzzo, cioè mattoni o blocchi di pietra assemblati con un legante a base di calce.

La qualità del calcestruzzo era garanzia della solidità delle volte, che gradualmente conquistarono

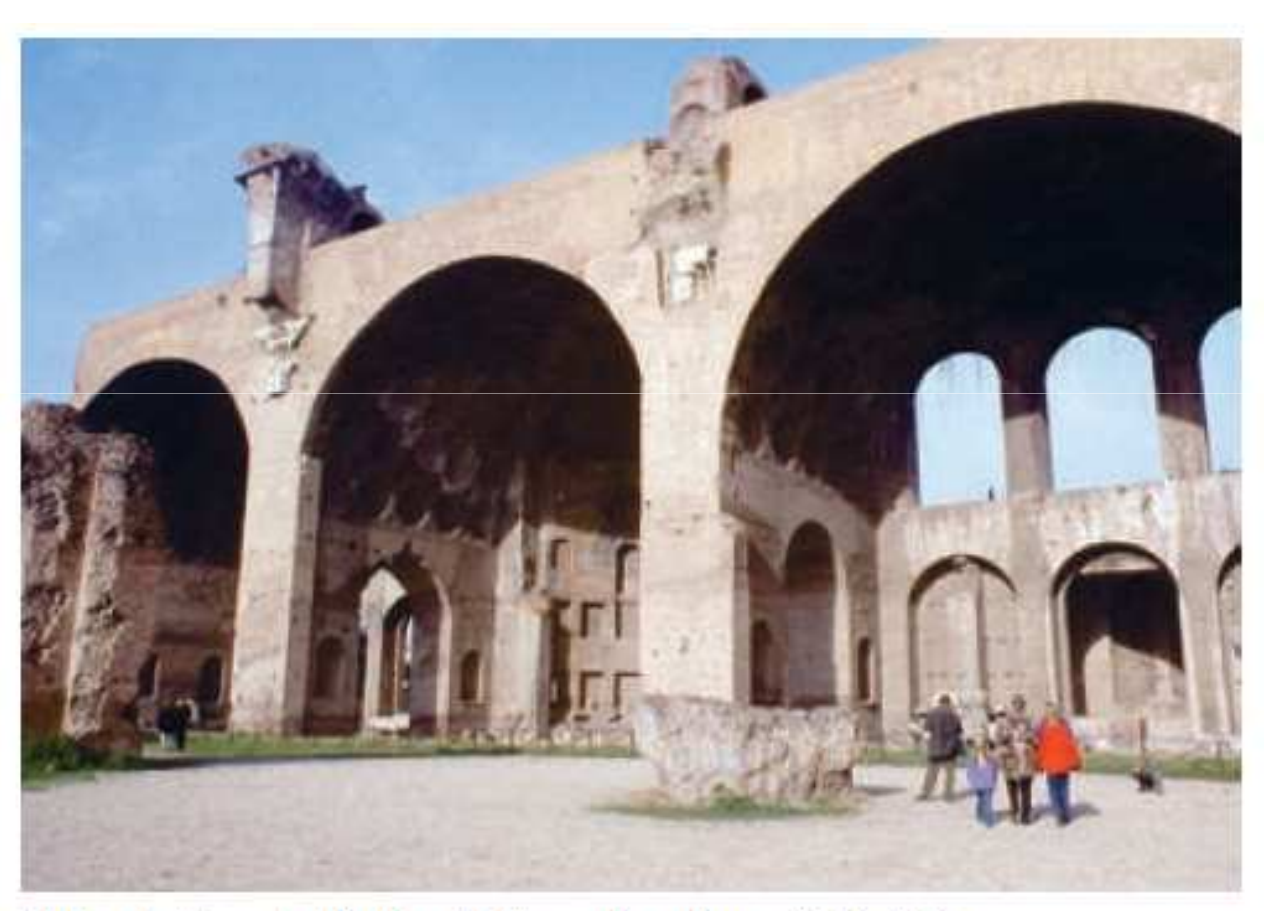
leggerezza e dimensioni sempre maggiori.

Le tipologie classiche sono distinte in volte semplici e volte composte.





# Volte, cupole...



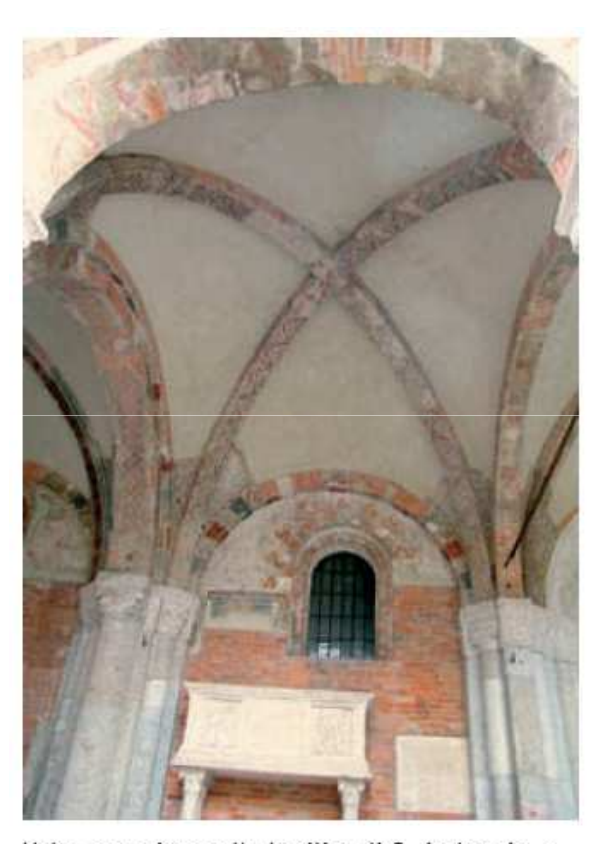
Volte a botte nella Basilica di Massenzio a Roma (313 d.C.).

# Volte, cupole...



Volte a vela nel Palazzo della Ragione a Milano (1316).

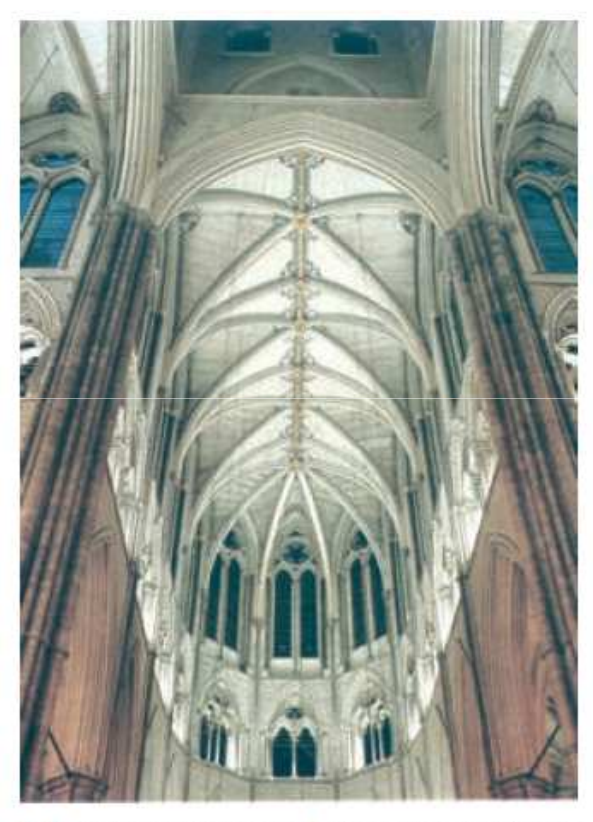
# Volte



Volta a crociera nella basilica di S. Ambrogio a Milano (XI sec.).



Volta a botte con lunette nella Cappella Sistina a Roma (1480).



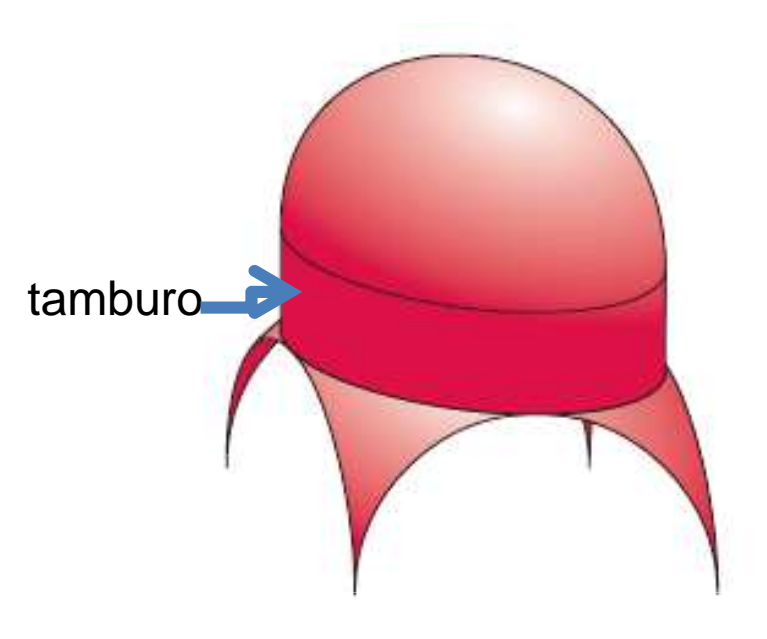
Volte con nervature nella Abbazia di Westminster a Londra (1512).

## Cupole

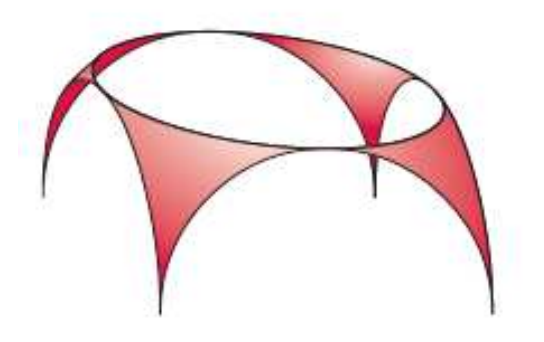
Le cupole sono in genere caratterizzate da una simmetria centrale o dalla rotazione di un profilo intorno a un asse verticale. L'esempio più semplice è costituito da una calotta semisferica.

Spesso le cupole poggiano su un tamburo di forma prismatica o cilindrica, che poggia sulle strutture di base. Il tamburo, oltre a dare maggiore visibilità e dignità a una cupola più alta, serve anche all'apertura di finestre che illuminano l'ambiente sottostante.

Per raccordare una base quadrata con un tamburo ottagonale vengono inseriti dei pennacchi, che possono avere forma sferica, conica oppure più complessa.



Cupola semisferica su tamburo cilindrico poggiante su pennacchi sferici

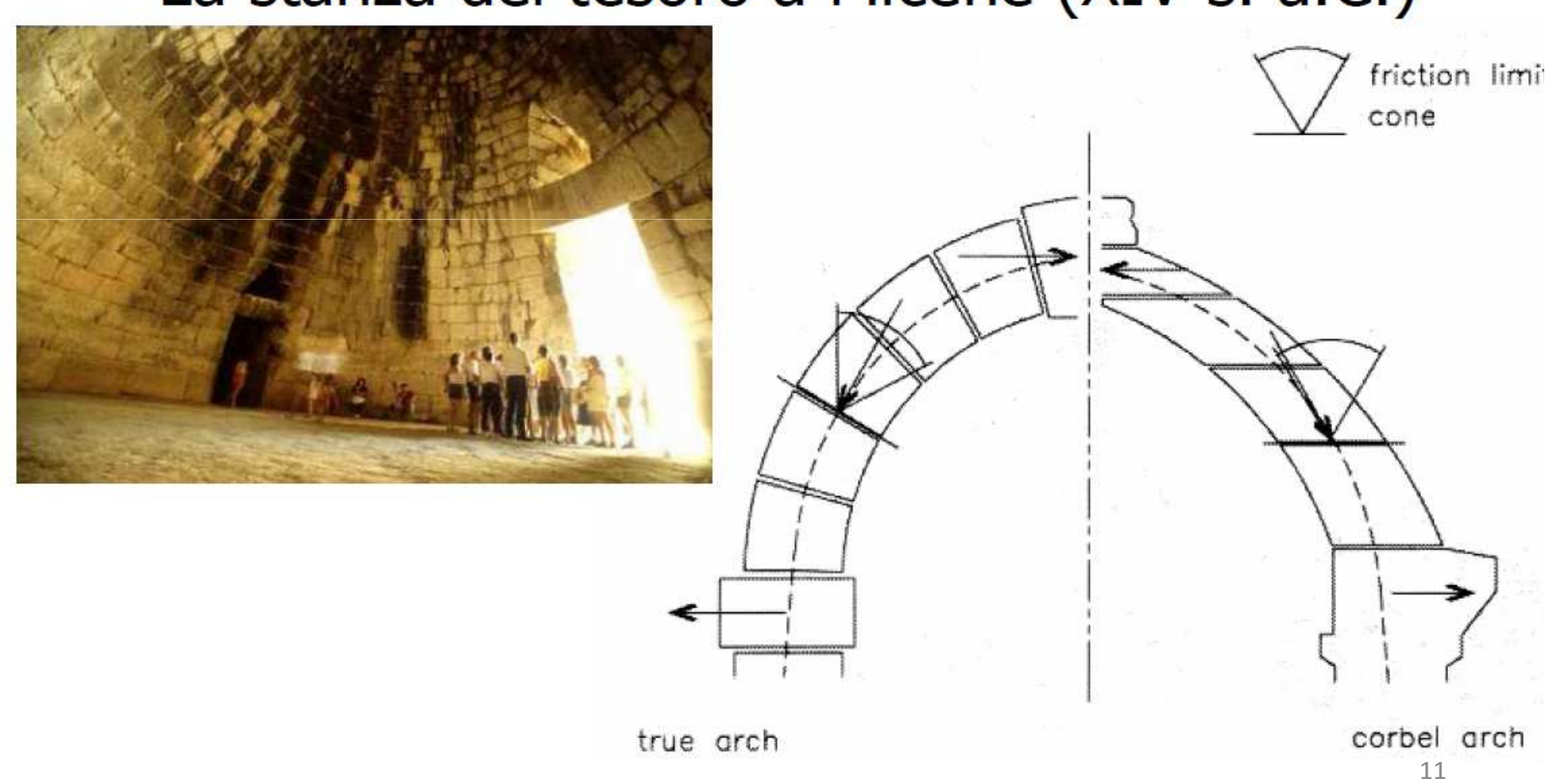


Pennacchi sferici originati dalla sezione di una volta a vela

## Cupole

La prima cupola della storia:

La stanza del tesoro a Micene (XIV s. a.C.)



Sulla sommità (cervello) della cupola si apre molto spesso lanterna, che una fornisce una punto d'illuminazione centrale e crea un elemento decorativo terminale superficie alla esterna. Altri punti d'illuminazione possono essere inseriti nella stessa superficie della cupola mediante aperture denominate occhi.

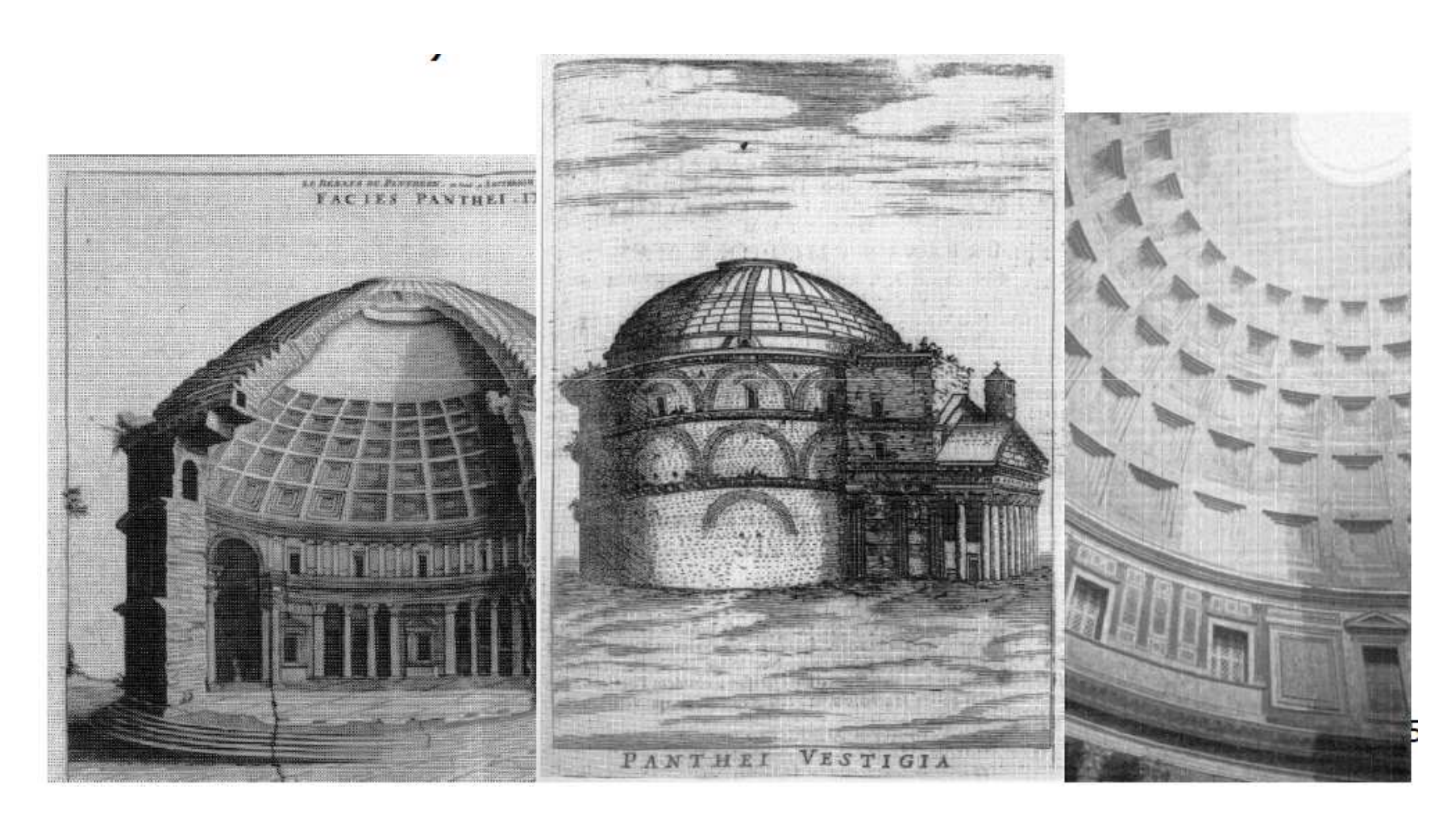


Mole Antonelliana a Torino, di Alessandro Antonelli (1863-1900).



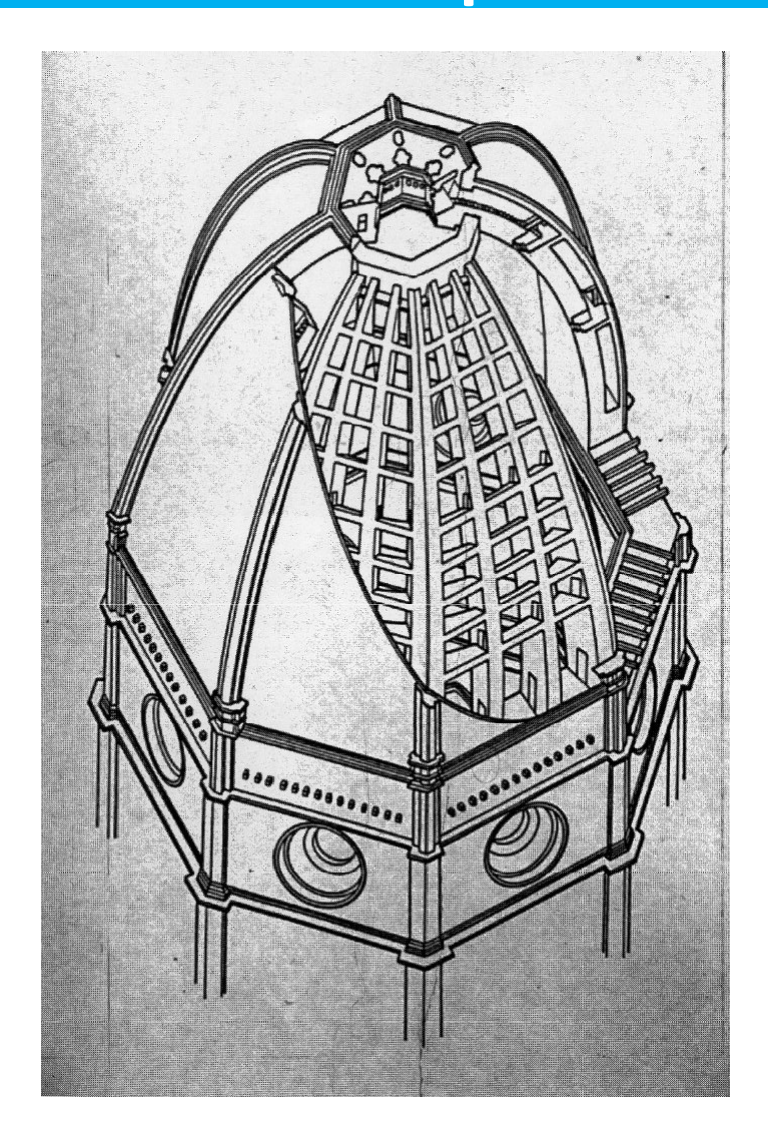
Cupola di S. Maria di Loreto, a Roma, di Antonio da Sangallo il Giovane (1501).

# Cupole



Pantheon, Roma, opus cementitium

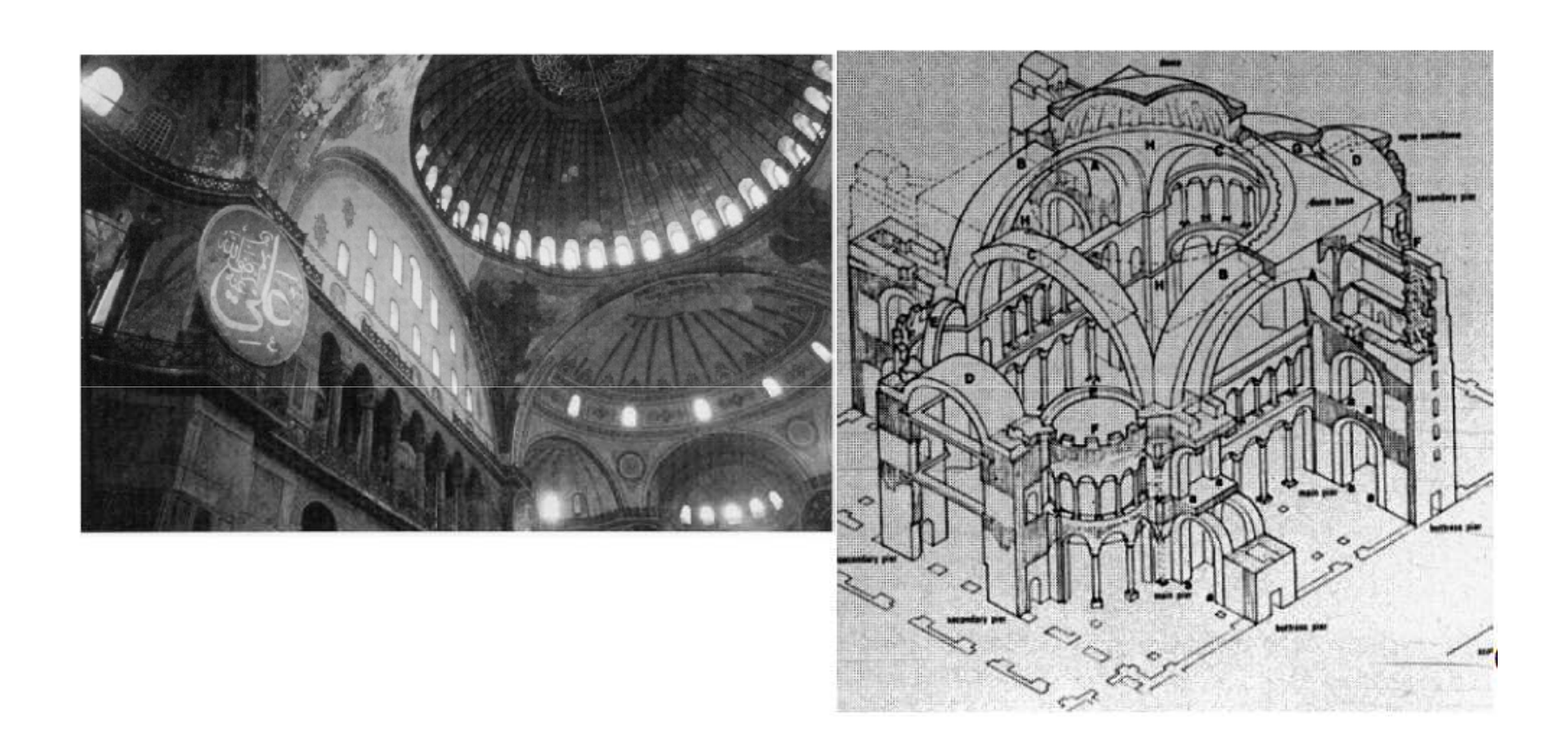
# Cupole



Santa Maria del Fiore, Firenze, schema misto



Santa Sofia, Istanbul, VI sec d.C.



Santa Sofia, Istanbul, VI sec d.C.

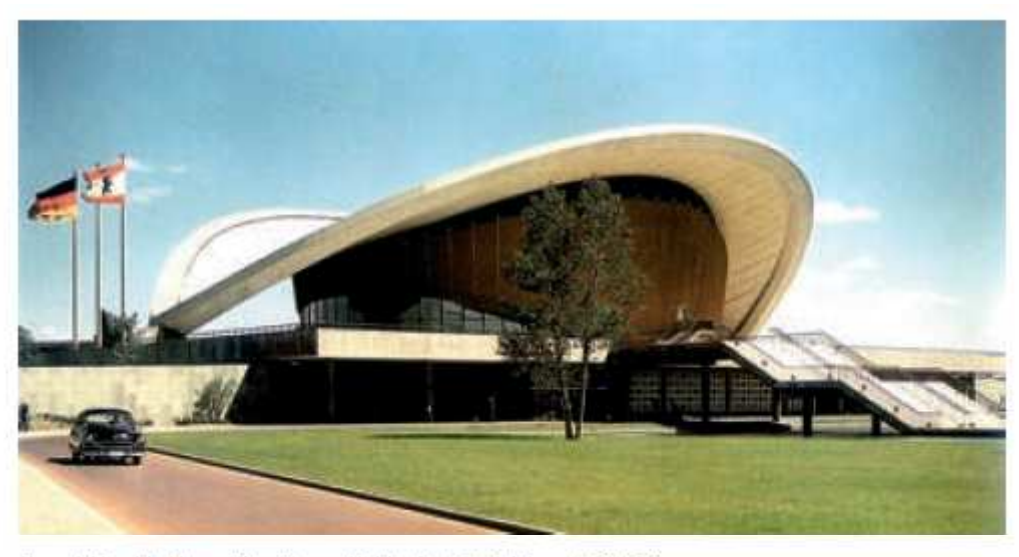


San Pietro, Roma

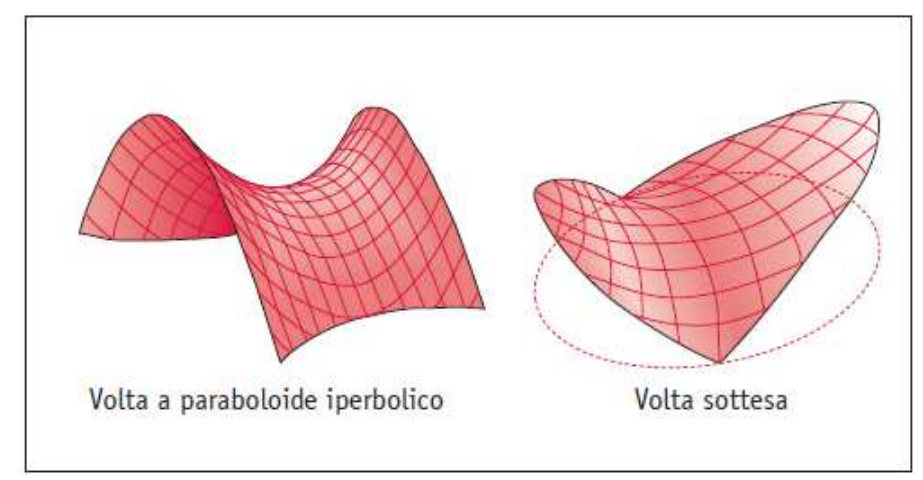
## Volte e cupole contemporanee

Con la tecnologia del cemento armato si possono coprire luci molto estese

Le grandi costruzioni sportive, congressuali o aeroportuali hanno fornito campi di prova per la sperimentazione di volte e cupole avveniristiche.



Franklin Halle a Berlino di H. A. Stubbins (1957).





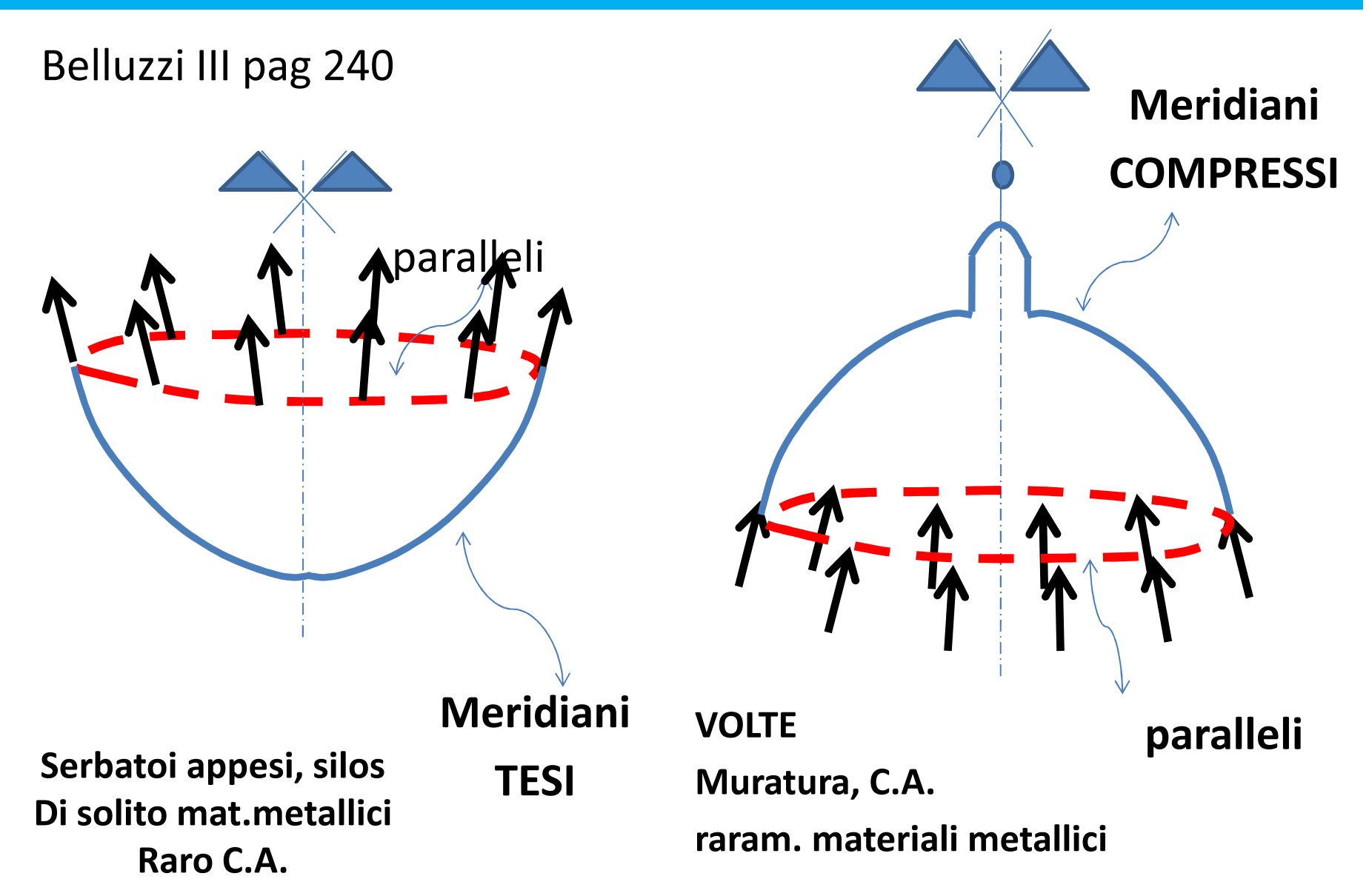
Città delle Scienze edelle Arti a Valencia, di Santiago Calatrava (2002).

## Membrane curve

#### Belluzzi III pag 240

- 1) Per l'esiguità dello spessore rispetto alle altre dimensioni si possono trascurare le rigidezze flessionali e torsionali, le tensioni tangenziali si annullano, le tensioni si suppongono costanti nello spessore (come nelle funi)
- 2) Le deformazioni elastiche non hanno una sensibile influenza sugli sforzi per cui possono essere considerate inestensibili (come nelle funi)
- 3) Gli sforzi possono essere calcolati sulla base delle sole equazioni di equilibrio (come nelle funi)
- 4) A differenza delle funi, la loro configurazione di equilibrio non dipende dal carico

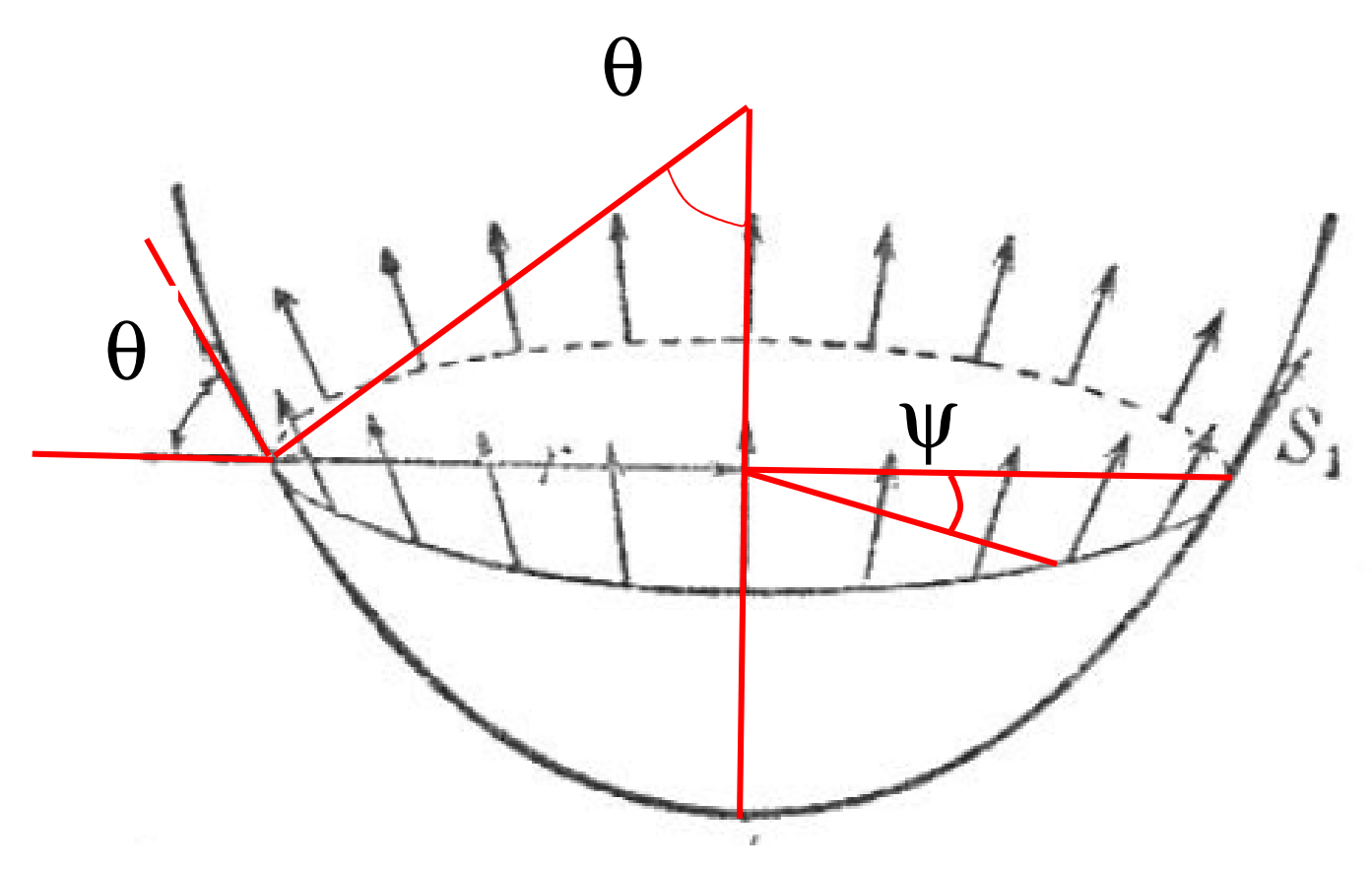
## Membrane di rivoluzione



## Membrane curve

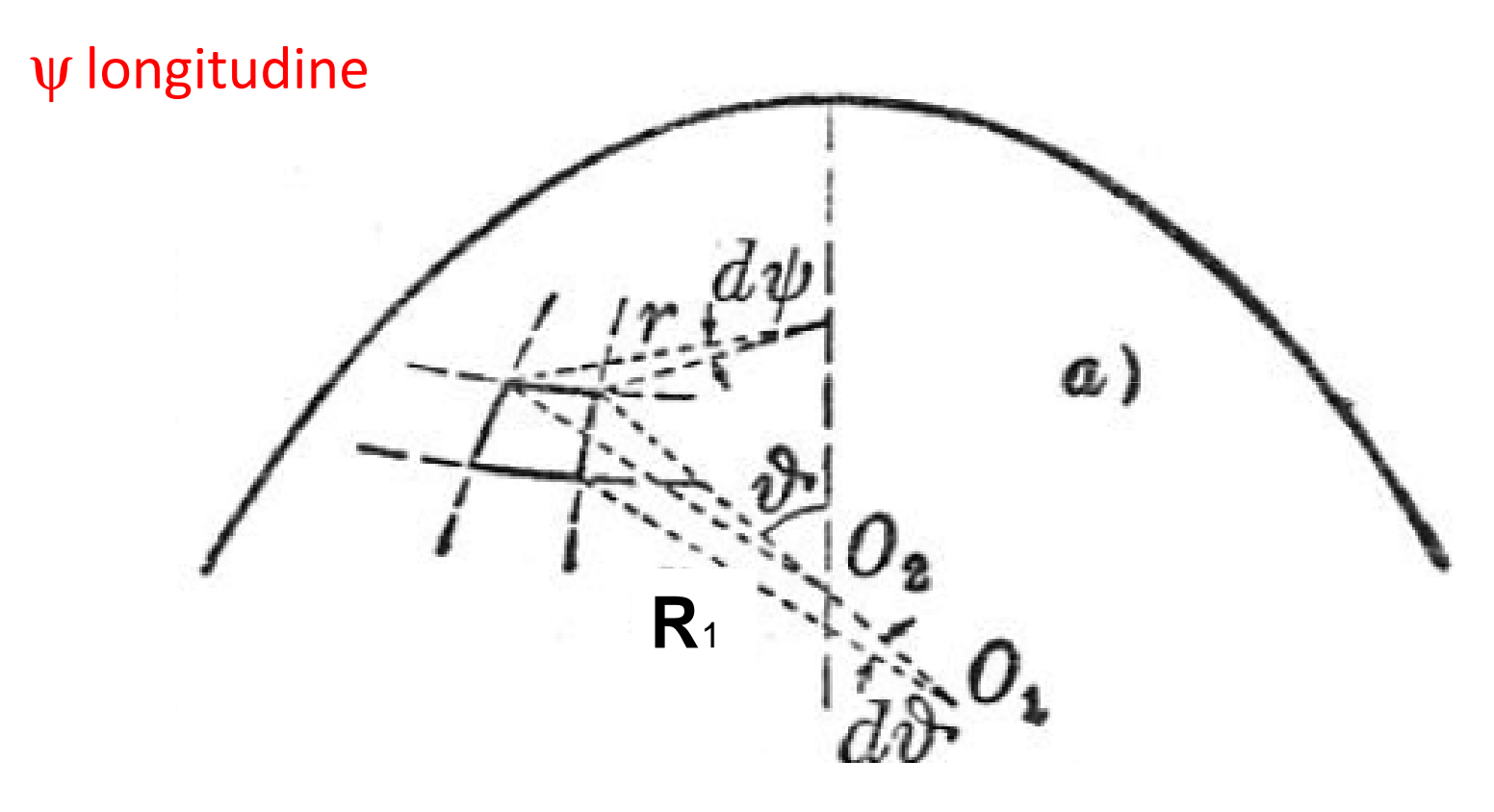
θ colatitudine: angolo che il piano tangente forma con il piano orizzontale

 $\psi$  longitudine

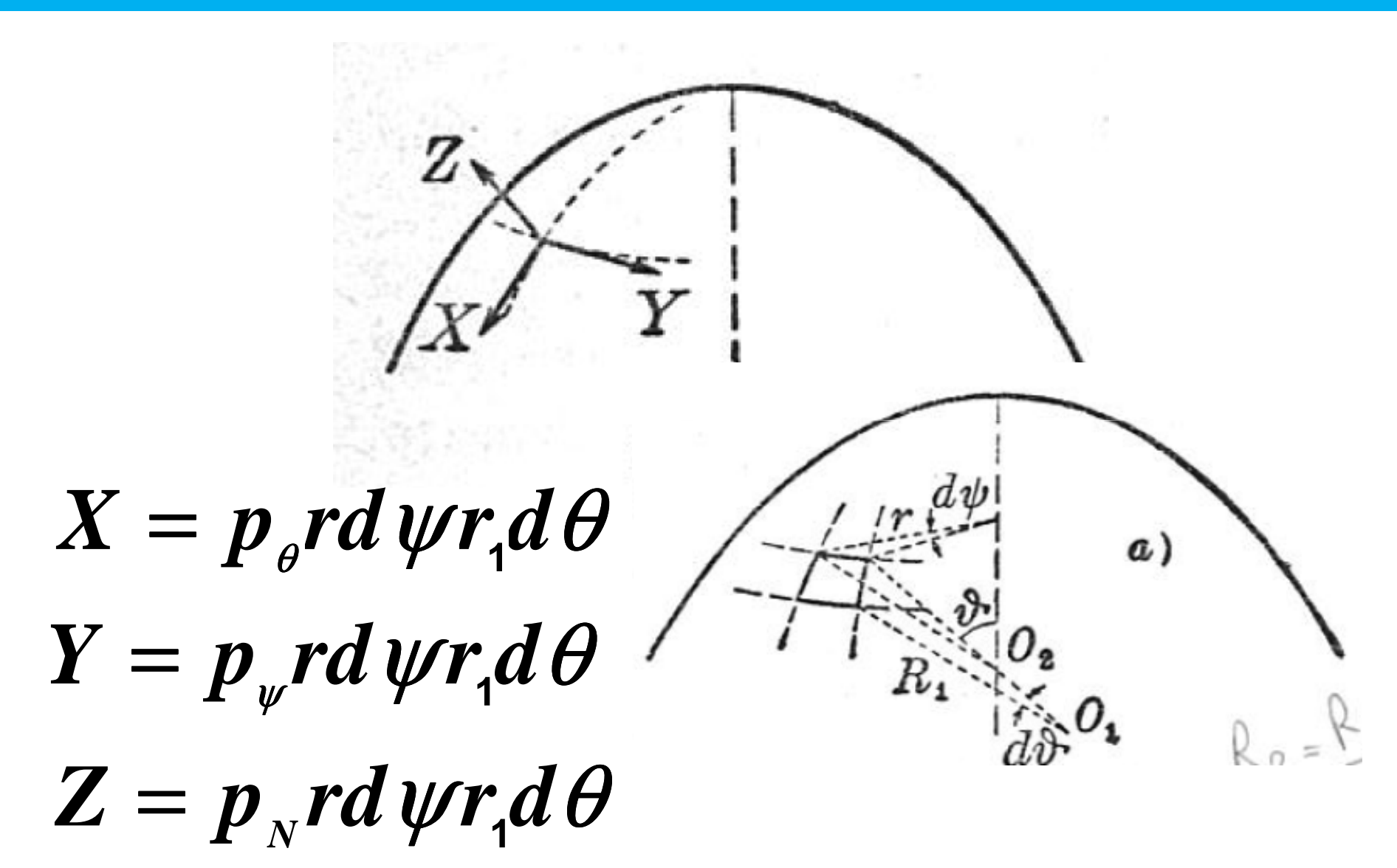


## Membrane curve

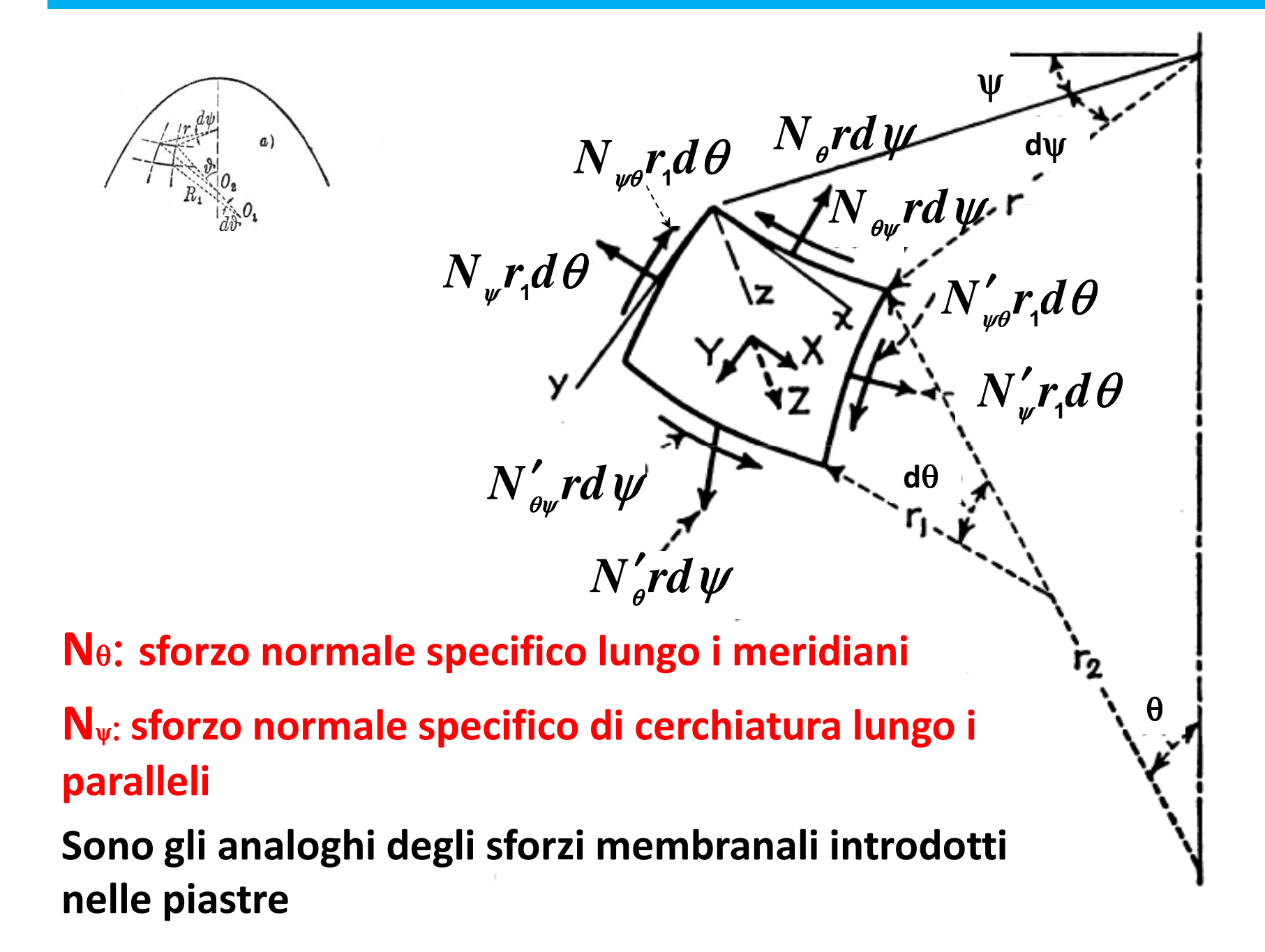
θ colatitudine: angolo che la tangente al piano forma con il piano orizzontale



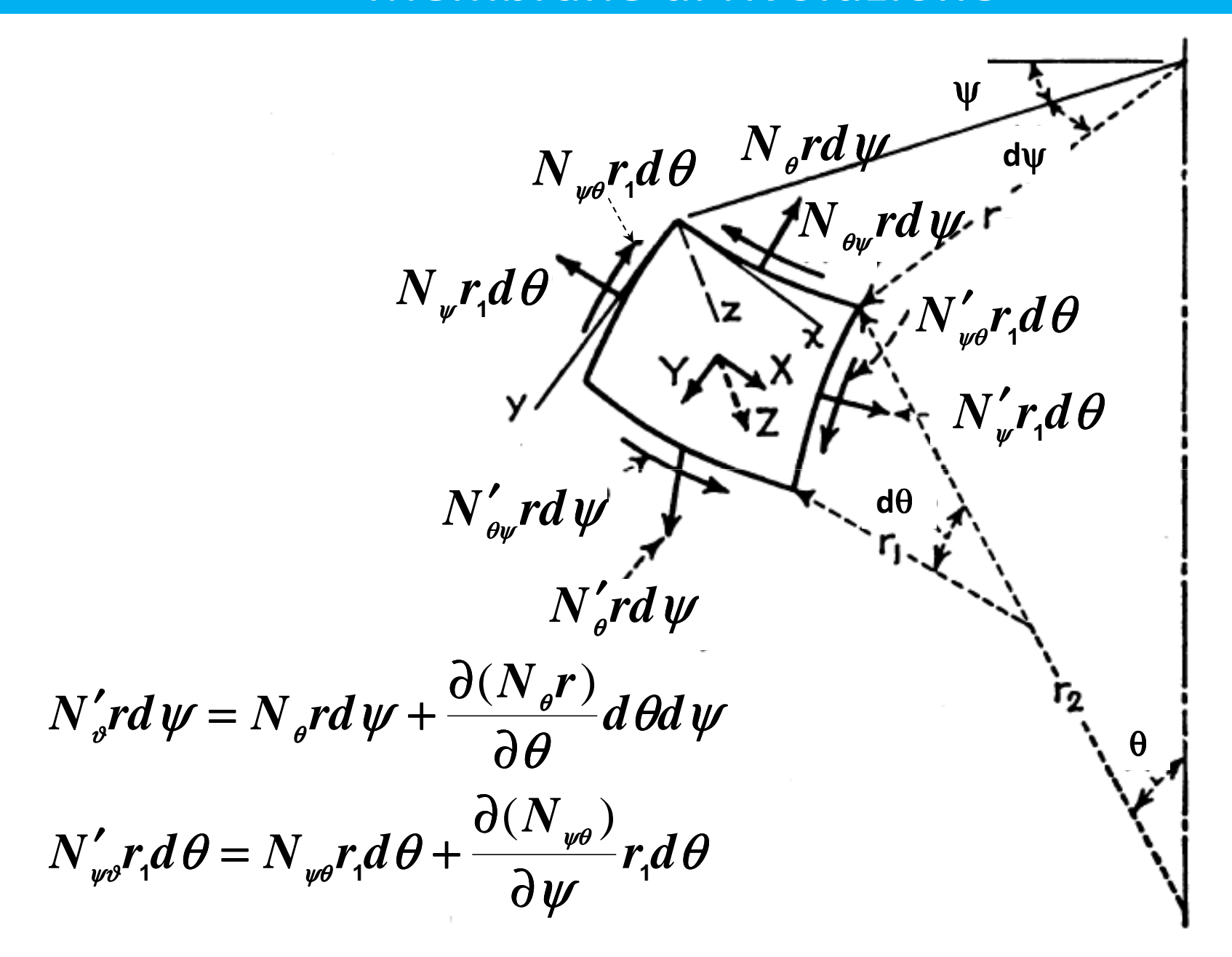
## Risultanti dei carichi agenti



### Membrane di rivoluzione

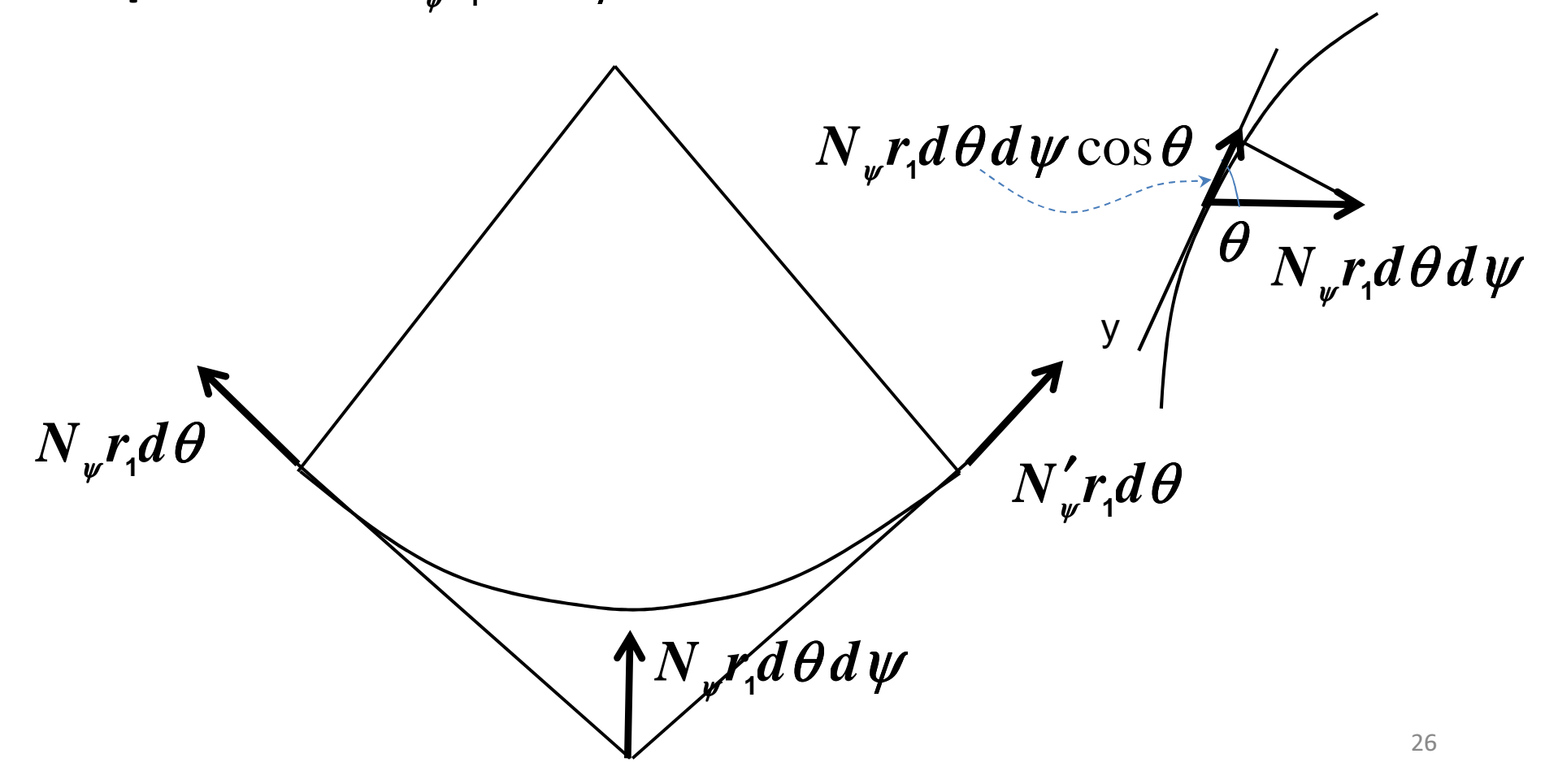


#### Membrane di rivoluzione

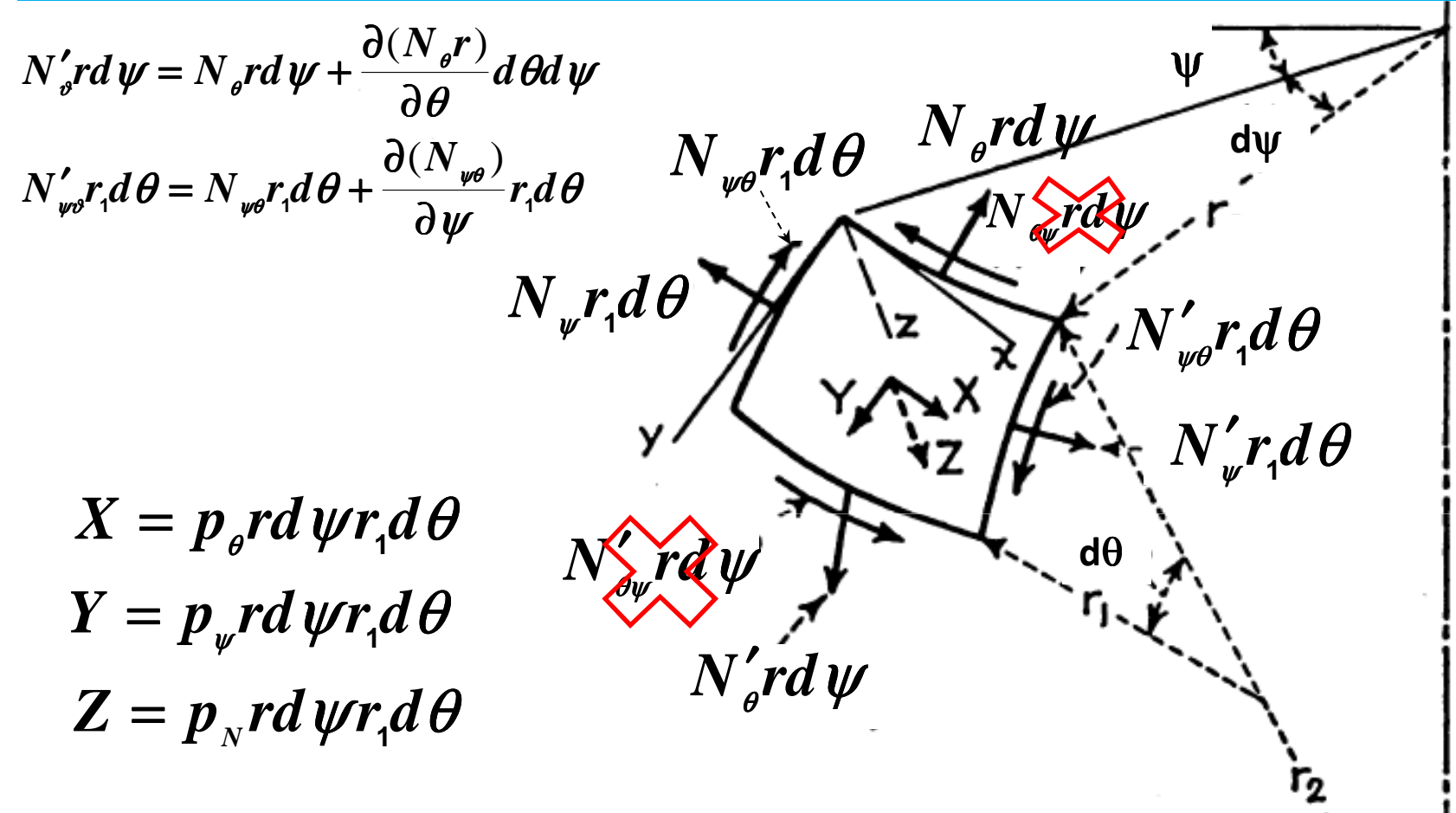


## Equilibrio lungo y (tangente al meridiano )

Gli sforzi normali  $N_{\psi}r_{1}d\theta$  ed $N_{\psi}'r_{1}d\theta$  hanno la risultante diretta secondo r che vale a meno di infinitesimi di ordini superiori  $N_{\psi}r_{1}d\theta d\psi$  e questa ha secondo y una componente  $N_{\omega}r_{1}d\theta d\psi\cos\theta$ 



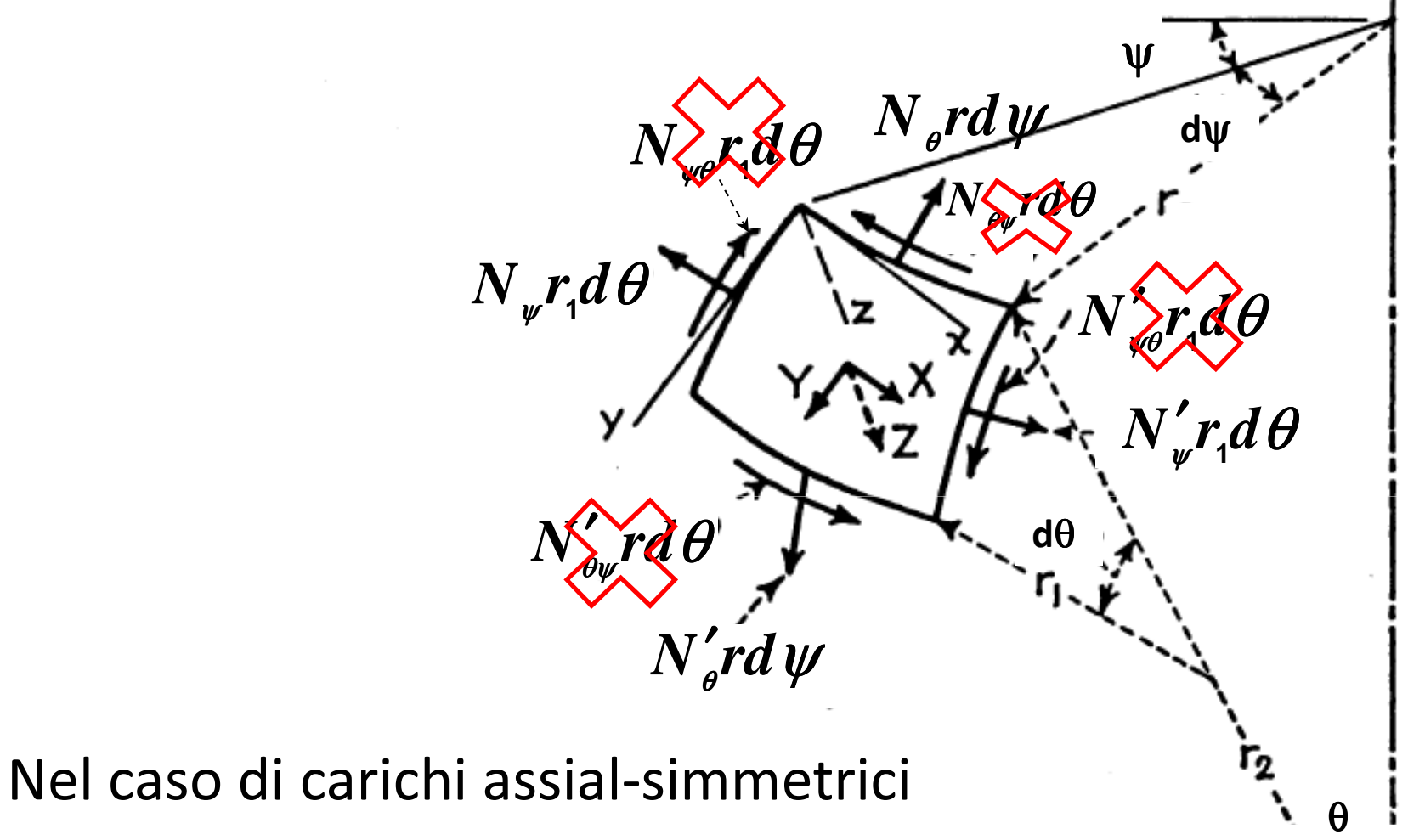
## Equilibrio lungo y (tangente al meridiano )



Equazione di equilibrio lungo la direzione meridiano

$$\frac{\partial (N_{\theta}r)}{\partial \theta} d\theta d\psi + \frac{\partial N_{\psi\theta}}{\partial \psi} r_{1} d\theta d\psi - N_{\psi} r_{1} \cos \theta d\theta d\psi + p_{\psi} r_{1} d\theta d\psi = \mathbf{0}$$

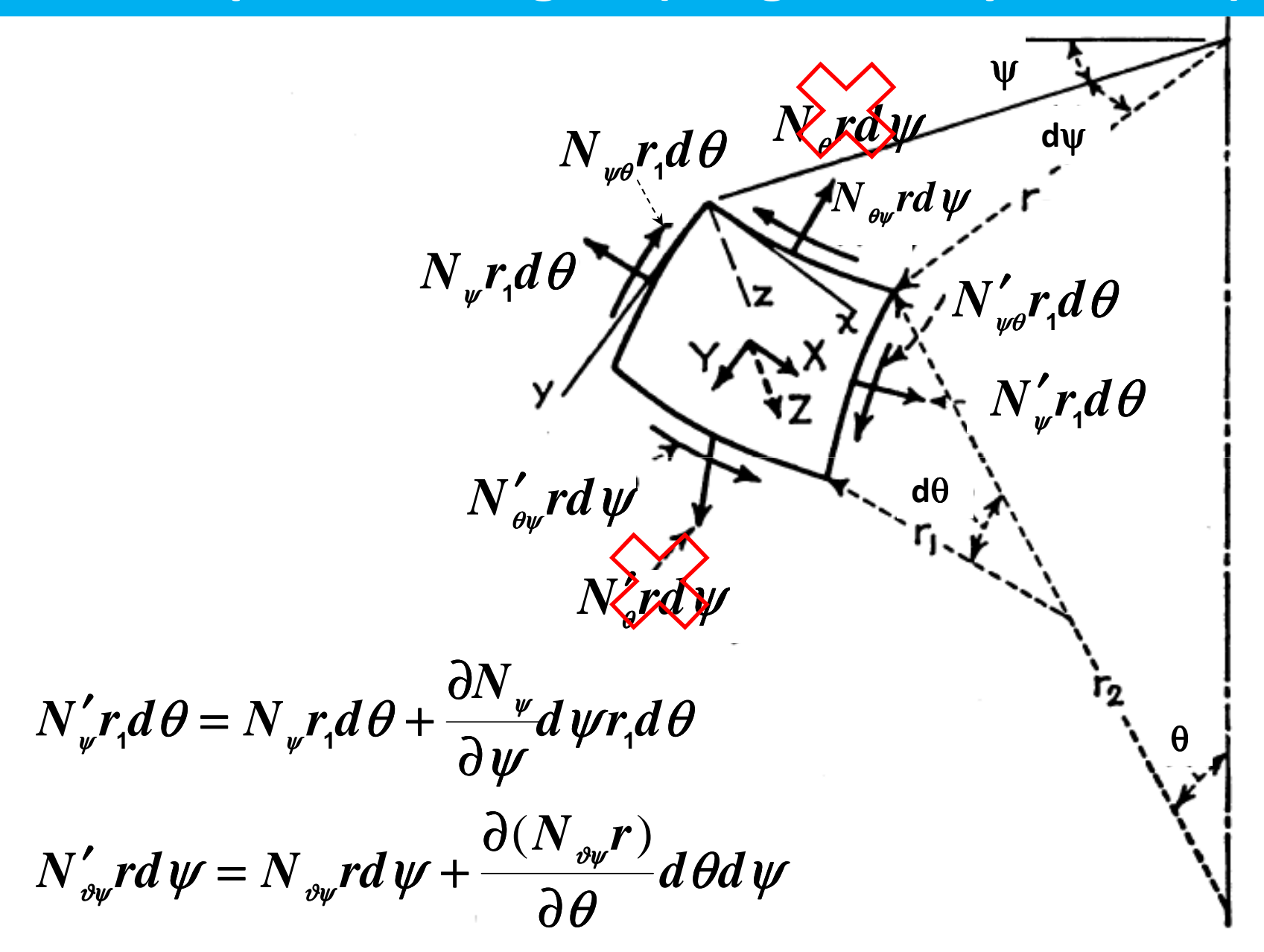
## Equilibrio lungo y (tangente al meridiano)



$$N_{_{arphi heta}}=\mathbf{0}$$

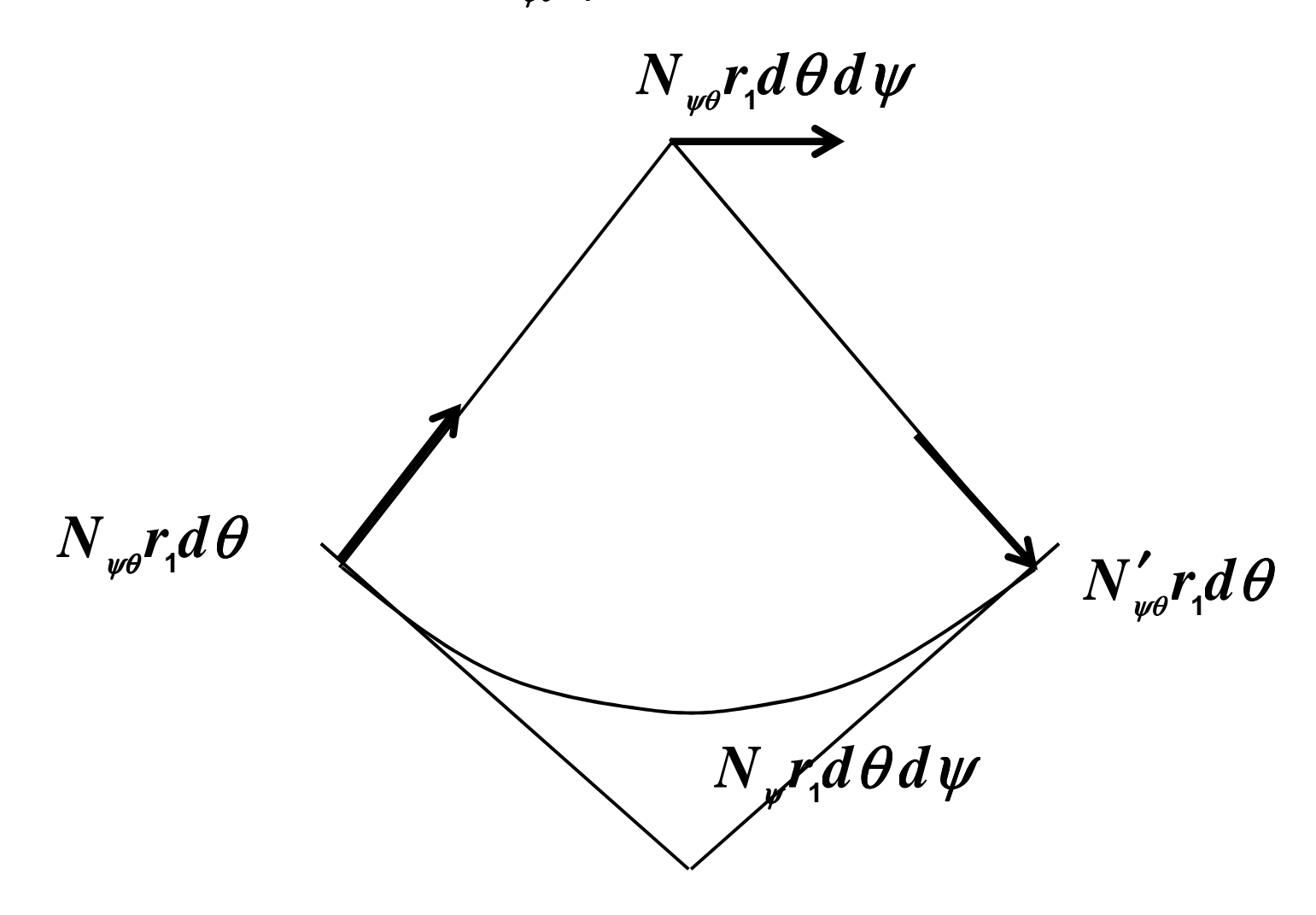
 $N_{\psi}$  non varia con  $\psi$ 

### **Equilibrio lungo x (tangente al parallelo )**

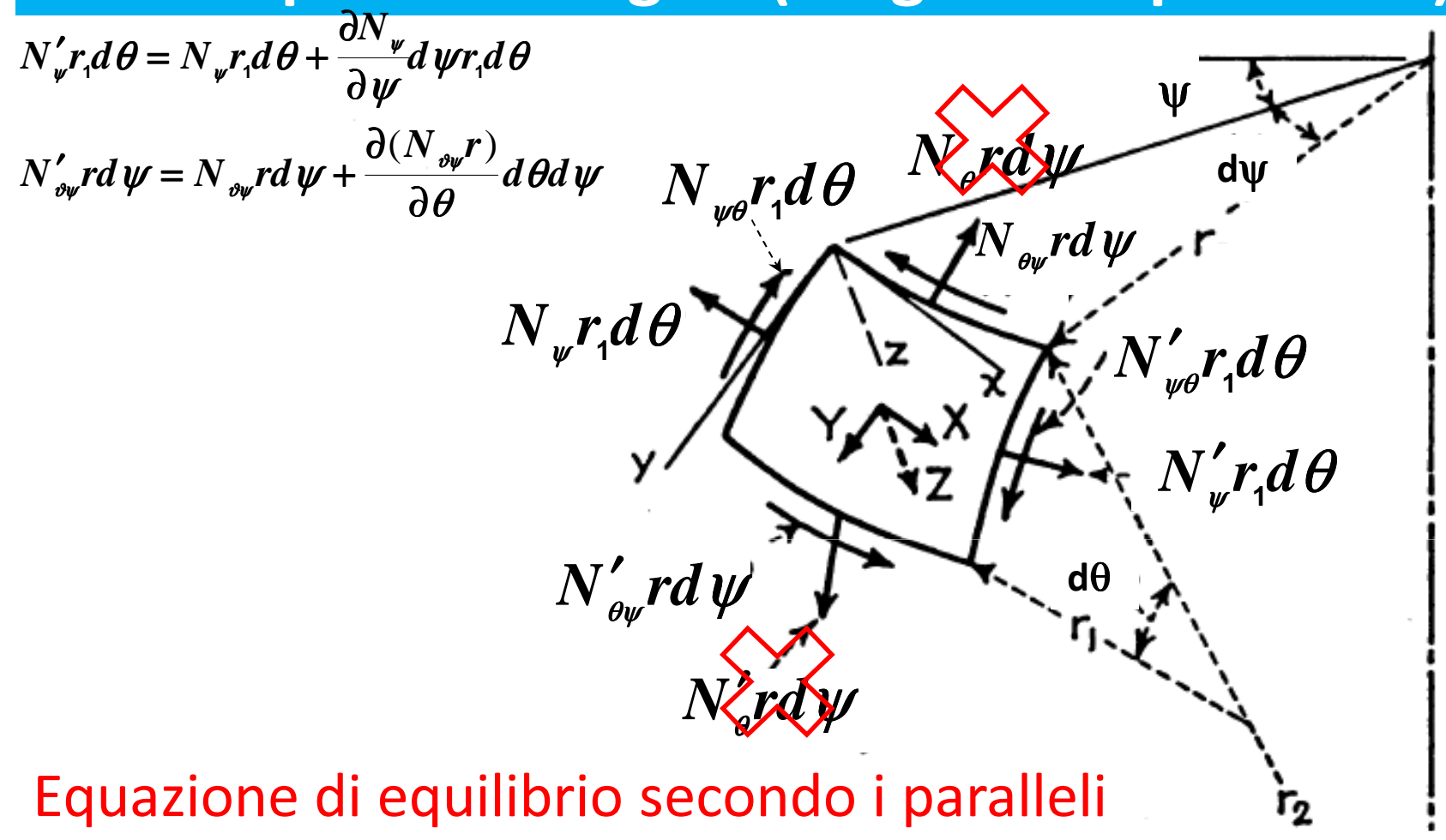


### **Equilibrio lungo x (tangente al parallelo )**

Gli sforzi normali  $N_{\psi\theta}r_{\scriptscriptstyle 1}d\theta$  ed $N'_{\psi\theta}r_{\scriptscriptstyle 1}d\theta$  hanno una risultante la cui componente secondo x vale a meno di infinitesimi di ordini superiori  $N_{\psi\theta}r_{\scriptscriptstyle 1}d\theta d\psi\cos\theta$ 

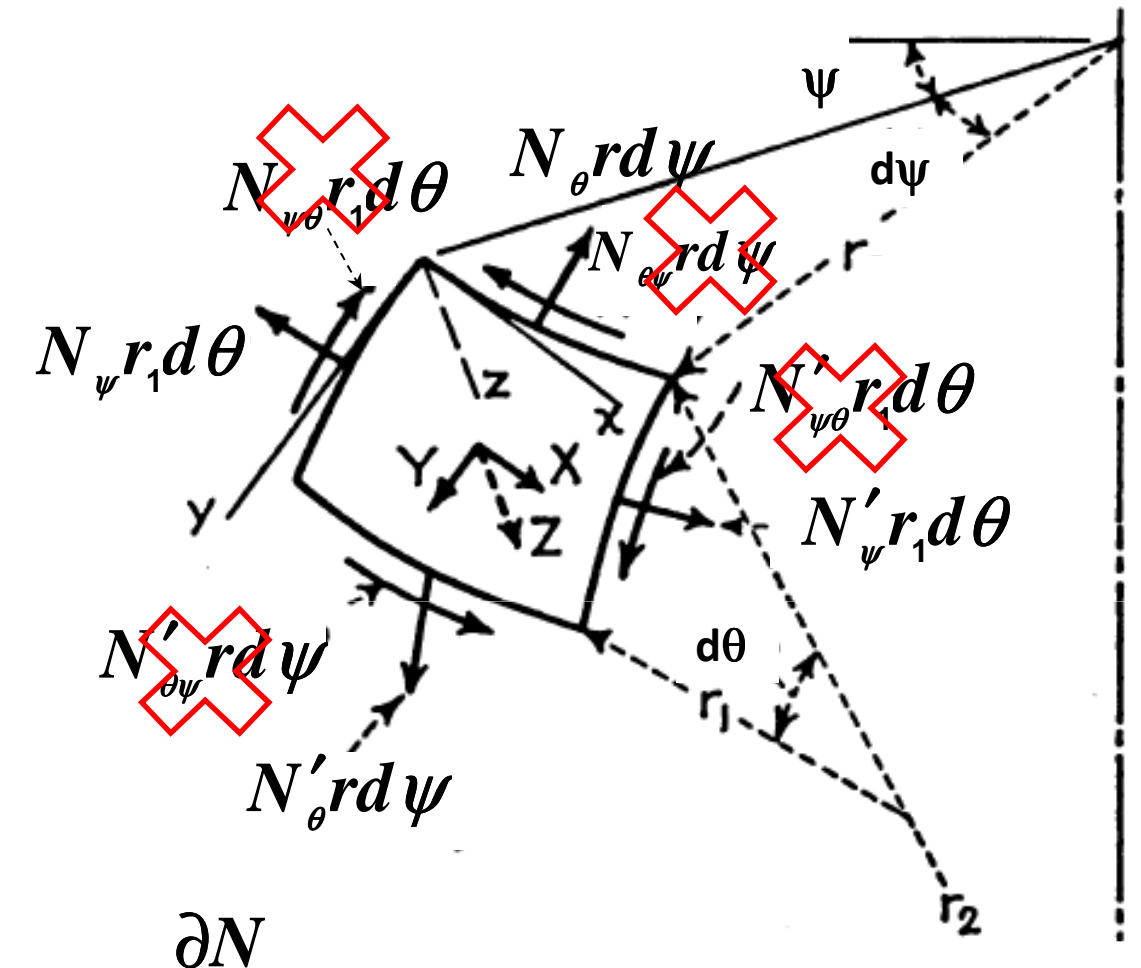


### Equilibrio lungo x (tangente al parallelo )



$$\frac{\partial (N_{\theta\psi}r)}{\partial \theta}d\theta d\psi + \frac{\partial N_{\psi}}{\partial \psi}r_{1}d\theta d\psi + N_{\theta\psi}r_{1}d\theta d\psi \cos\theta + p_{\theta}r_{1}d\theta rd\psi = \mathbf{0}$$

### **Equilibrio lungo z (normale)**

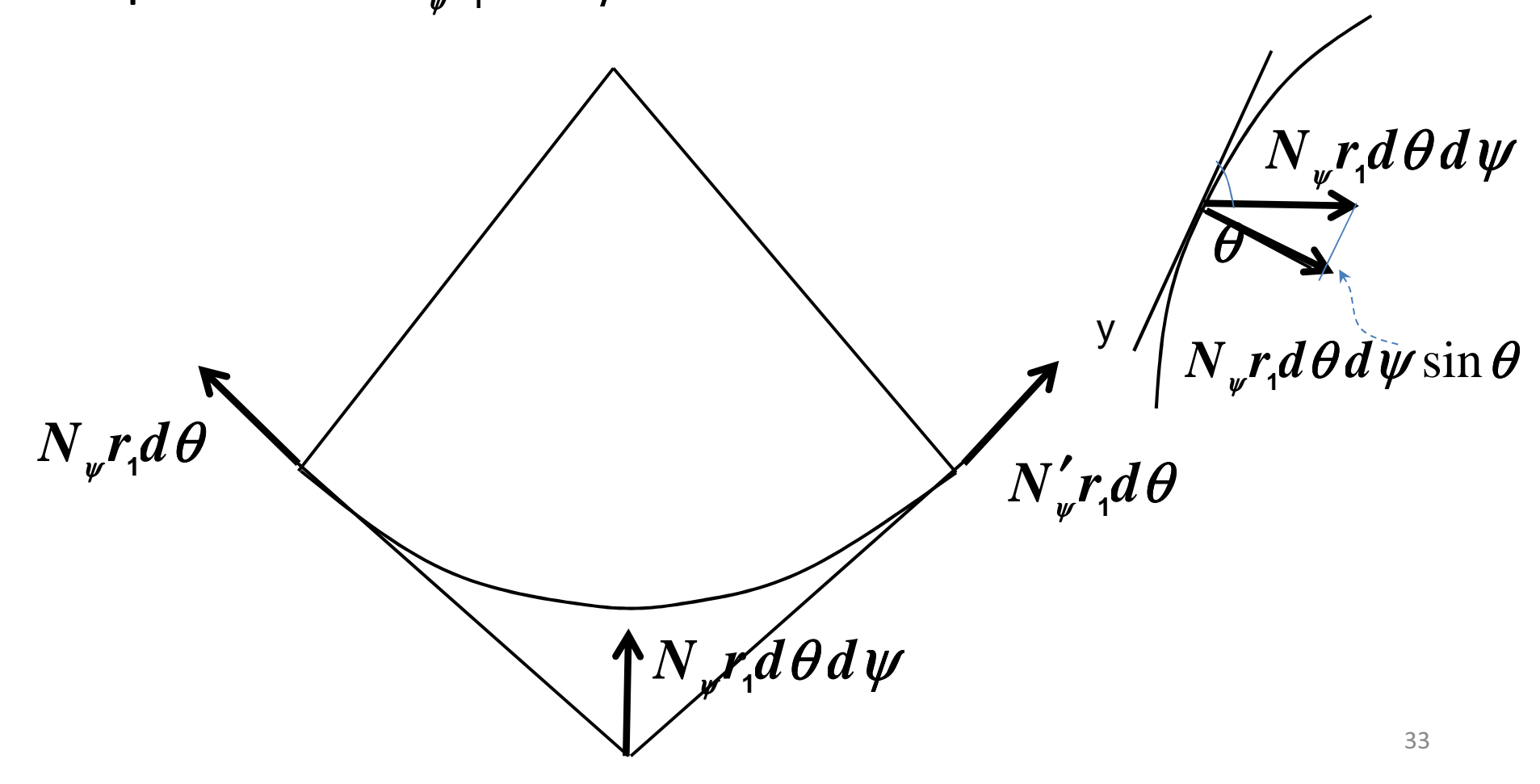


$$N'_{\varphi}r_{1}d\theta = N_{\varphi}r_{1}d\theta + \frac{\partial N_{\varphi}}{\partial \psi}d\psi r_{1}d\theta$$
$$N'_{\varphi}rd\psi = N_{\theta}rd\psi + \frac{\partial (N_{\theta}r)}{\partial \theta}d\theta d\psi$$

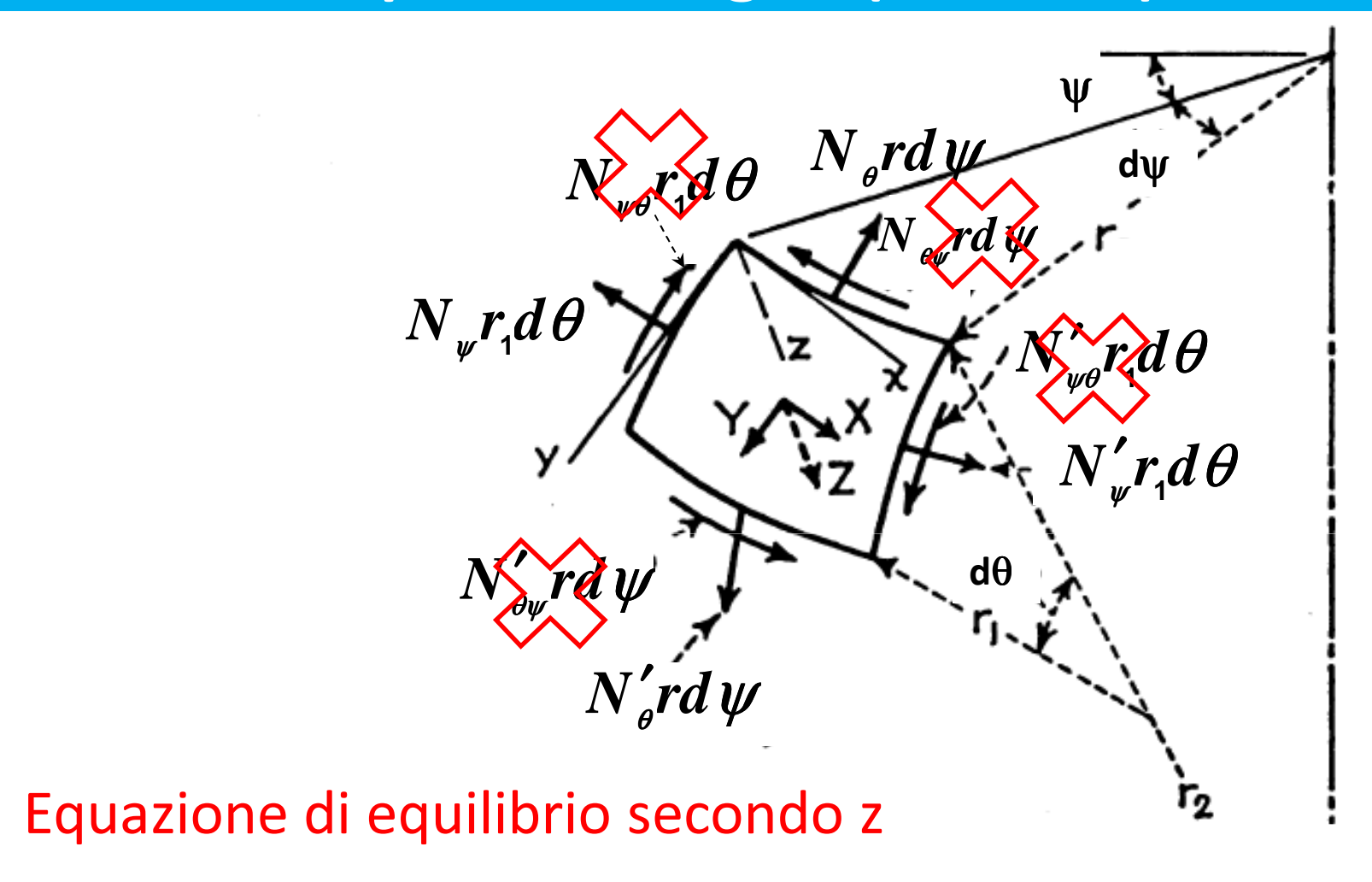
$$N_{v}'rd\psi = N_{\theta}rd\psi + \frac{\partial(N_{\theta}r)}{\partial\theta}d\theta d\psi$$

### Equilibrio lungo z

Gli sforzi normali  $N_{\psi}r_{1}d\theta$  ed  $N'_{\psi}r_{1}d\theta$  hanno la risultante diretta secondo r che vale a meno di infinitesimi di ordini superiori  $N_{\psi}r_{1}d\theta d\psi$  e questa ha secondo z una componente  $N_{\psi}r_{1}d\theta d\psi \sin\theta$ 

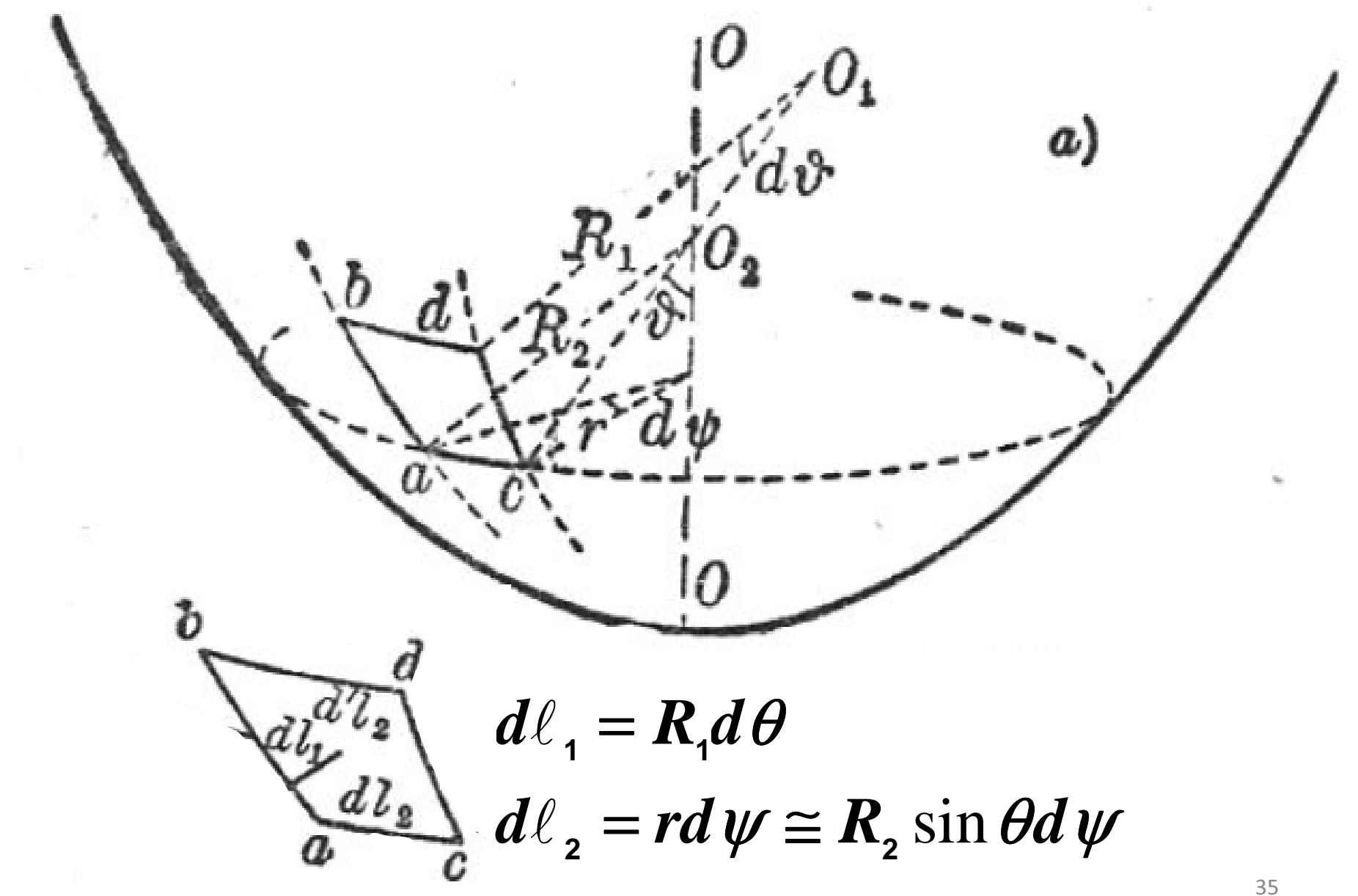


### **Equilibrio lungo z (normale)**



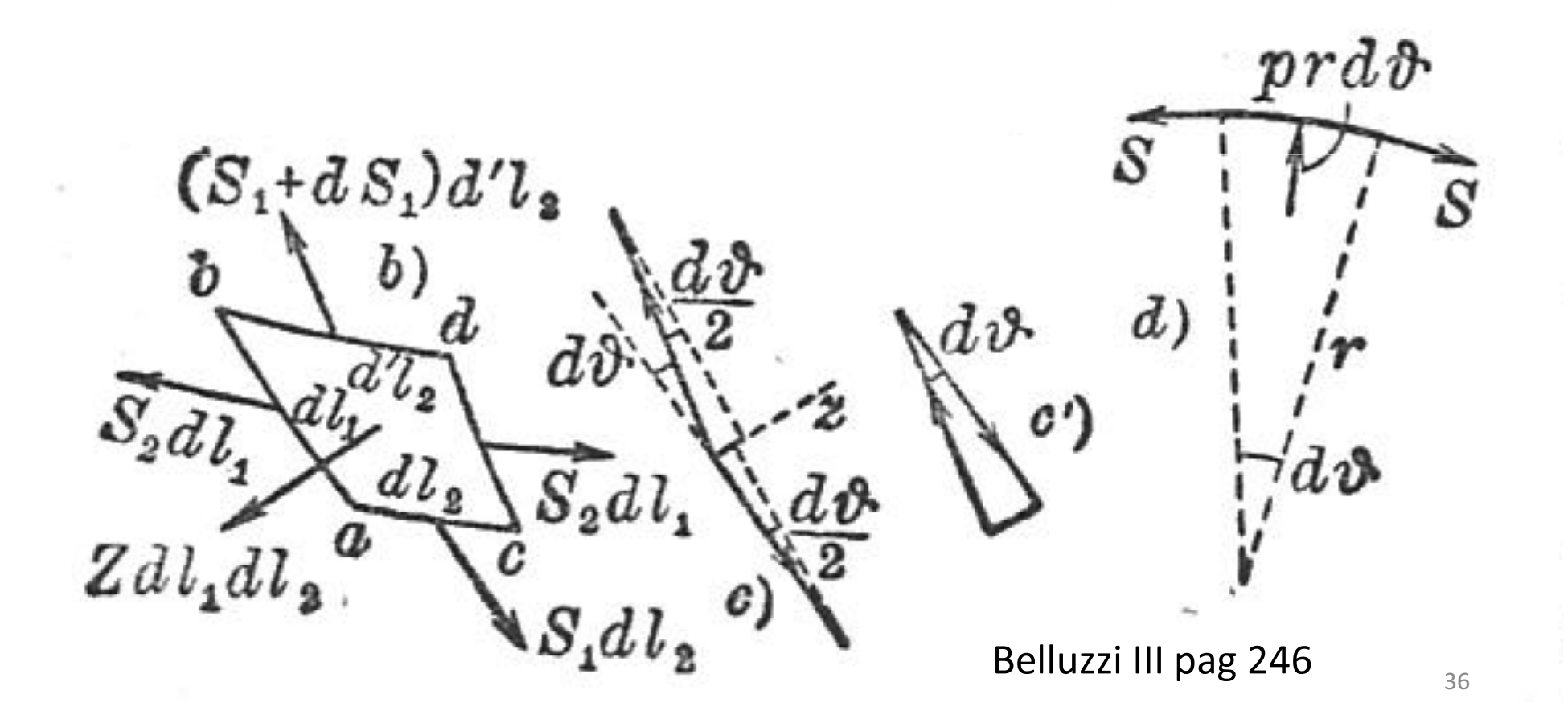
 $N_{\theta}r_{2}\sin\theta d\psi d\theta + N_{\psi}r_{1}\sin\theta d\psi d\theta = p_{N}r_{2}r_{1}\sin\theta d\psi d\theta$ 

#### Membrane di rivoluzione caricate in modo assialsimmetrico



#### Membrane di rivoluzione caricate in modo assialsimmetrico

Consideriamo un elemento abcd di membrana; In tale caso lo sforzo tangenziale si annulla



#### Membrane di rivoluzione caricate in modo assialsimmetrico

Consideriamo un elemento di membrana;

In tale caso lo sforzo tangenziale si annulla

Il piano meridiano ed il piano perpendicolare al meridiano diventano i piani principali di curvatura in un punto della superficie di rivoluzione

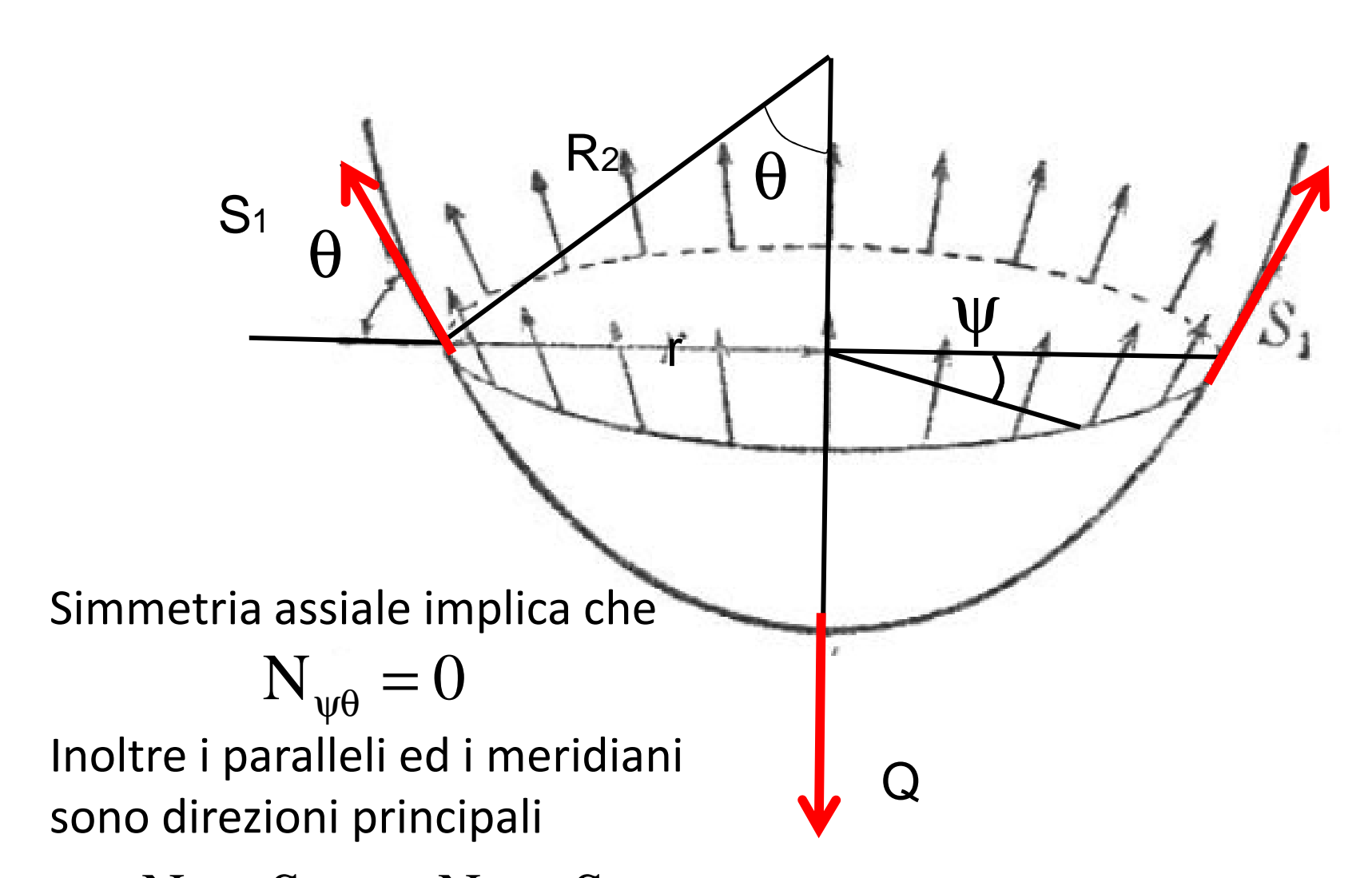
i corrispondenti raggi di curvatura sono R1 (paralleli) ed R2 (meridiani)

1/R1 e 1/R2 sono dette curvature Gaussiane della superficie

$$S_1R_2 \sin\theta d\psi d\theta + S_2R_1 \sin\theta d\psi d\theta = p_N R_2 R_1 \sin\theta d\psi d\theta$$

$$\frac{S_1}{R_1} + \frac{S_2}{R_2} = p_N \quad \text{formula di Mariotte per le membrane}$$

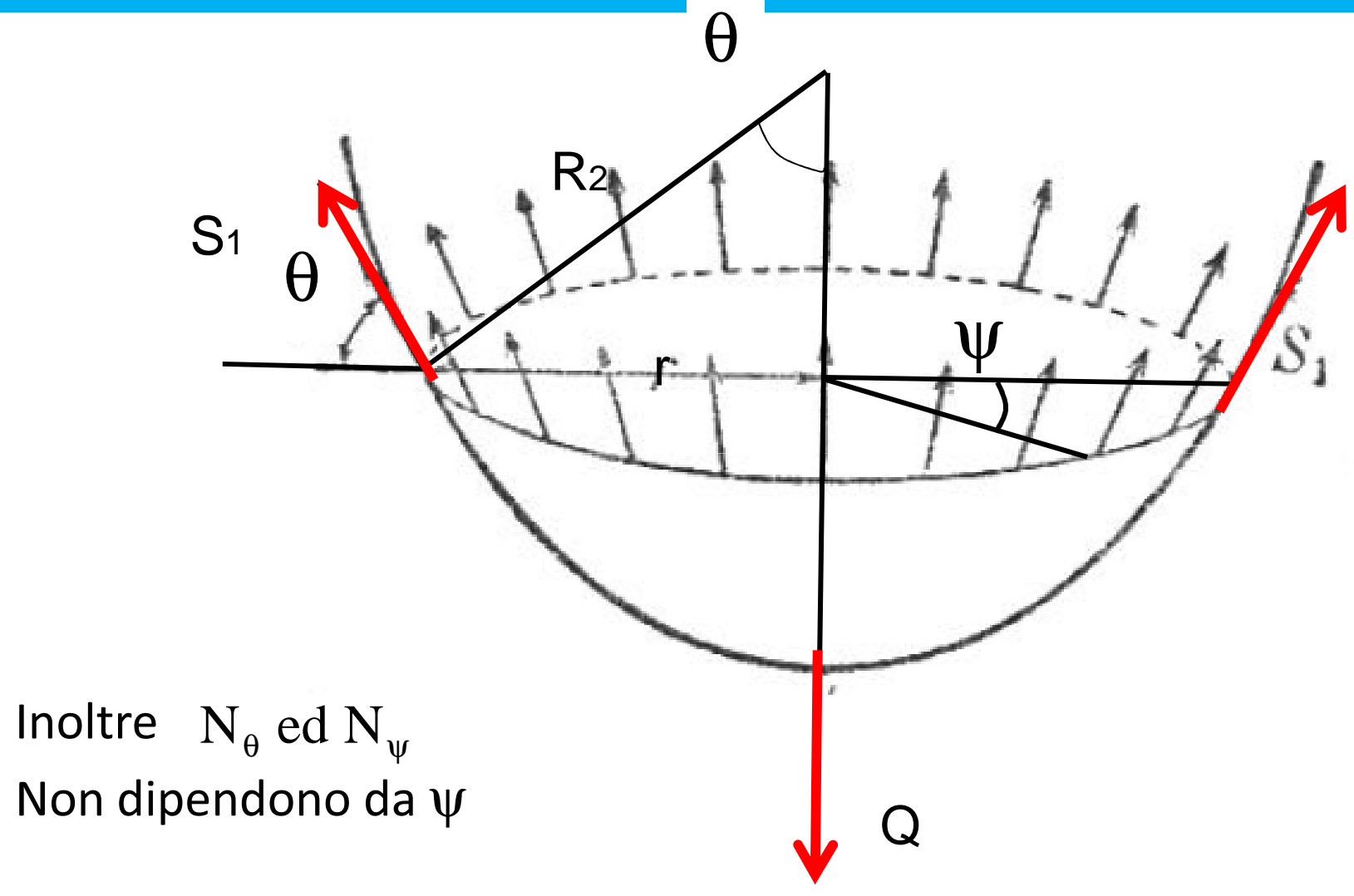
# Esempio: membrana di rivoluzione caricate in modo assialsimmetrico



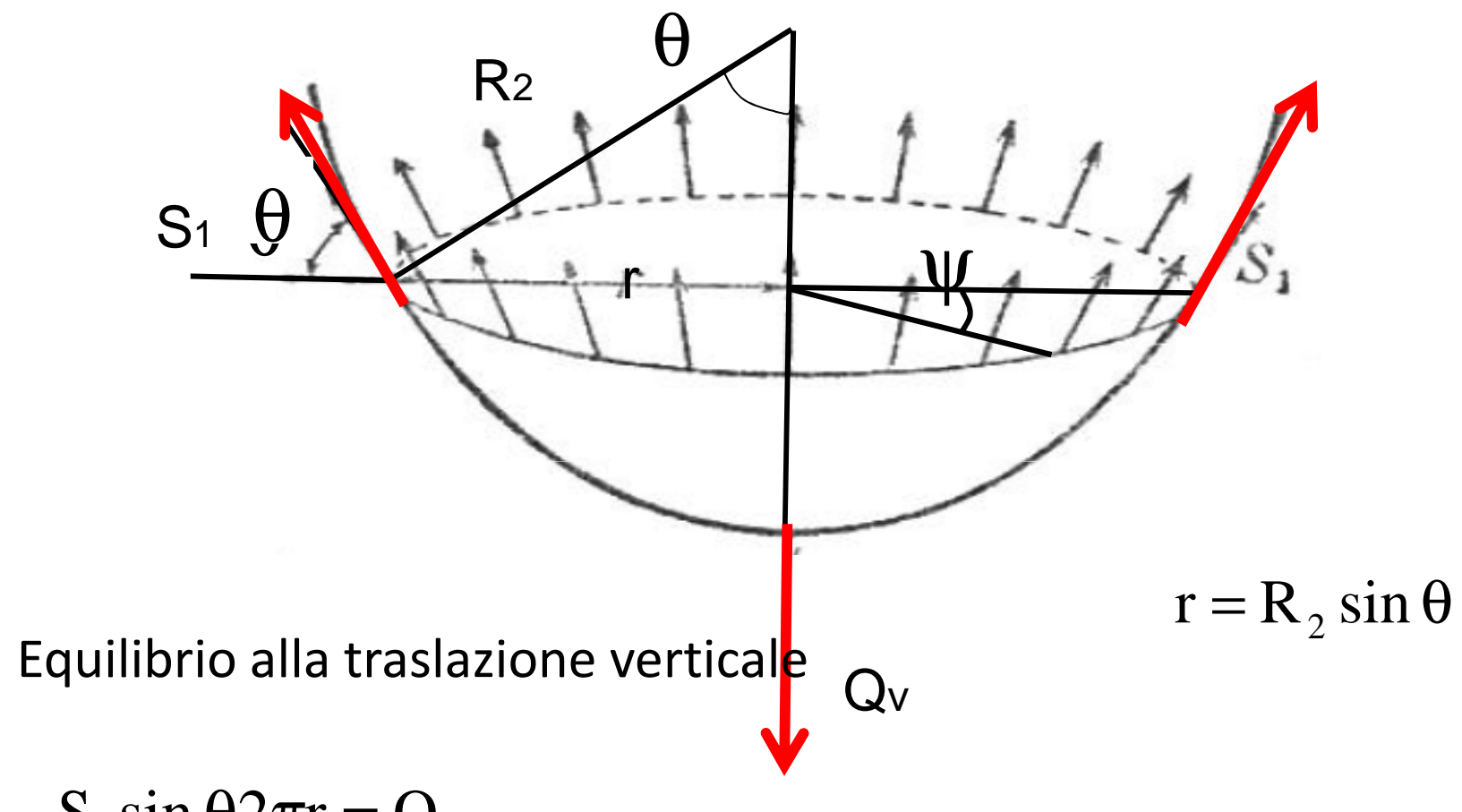
 $N_{\theta} = S_1 \qquad N_{\psi} = S_2$ 

Belluzzi III pag 246

# Esempio: membrana di rivoluzione caricate in modo assialsimmetrico



# Esempio: membrana di rivoluzione caricate in modo assialsimmetrico



$$S_1 \sin \theta 2\pi r = Q_V$$

$$S_1 = \frac{Q_V}{\sin \theta 2\pi r} = \frac{Q_V}{2\pi R_2 \sin^2 \theta}$$

#### Casi particolari: serbatoi in pressione per gas

Si trascura il peso del fluido ed il peso proprio del serbatoio

$$Q_{V} = p\pi r^{2}$$

$$S_1 = \frac{Q_V}{2\pi r \sin \theta} = \frac{p\pi r^2}{2\pi r \sin \theta} = \frac{pr}{2\sin \theta} = \frac{pR_2}{2}$$

Dall'equazione di equilibrio si ha

$$\frac{S_1}{R_1} + \frac{S_2}{R_2} = p \Rightarrow \frac{pR_2}{2R_1} + \frac{S_2}{R_2} = p \Rightarrow S_2 = \frac{pR_2}{2}(2 - \frac{R_2}{R_1})$$

#### Casi particolari: serbatoi in pressione per gas

Caso di serbatoio cilindrico di spessore s

$$R_1 = \infty$$
  $R_2 = R$ 

$$S_1 = \frac{pR}{2}$$

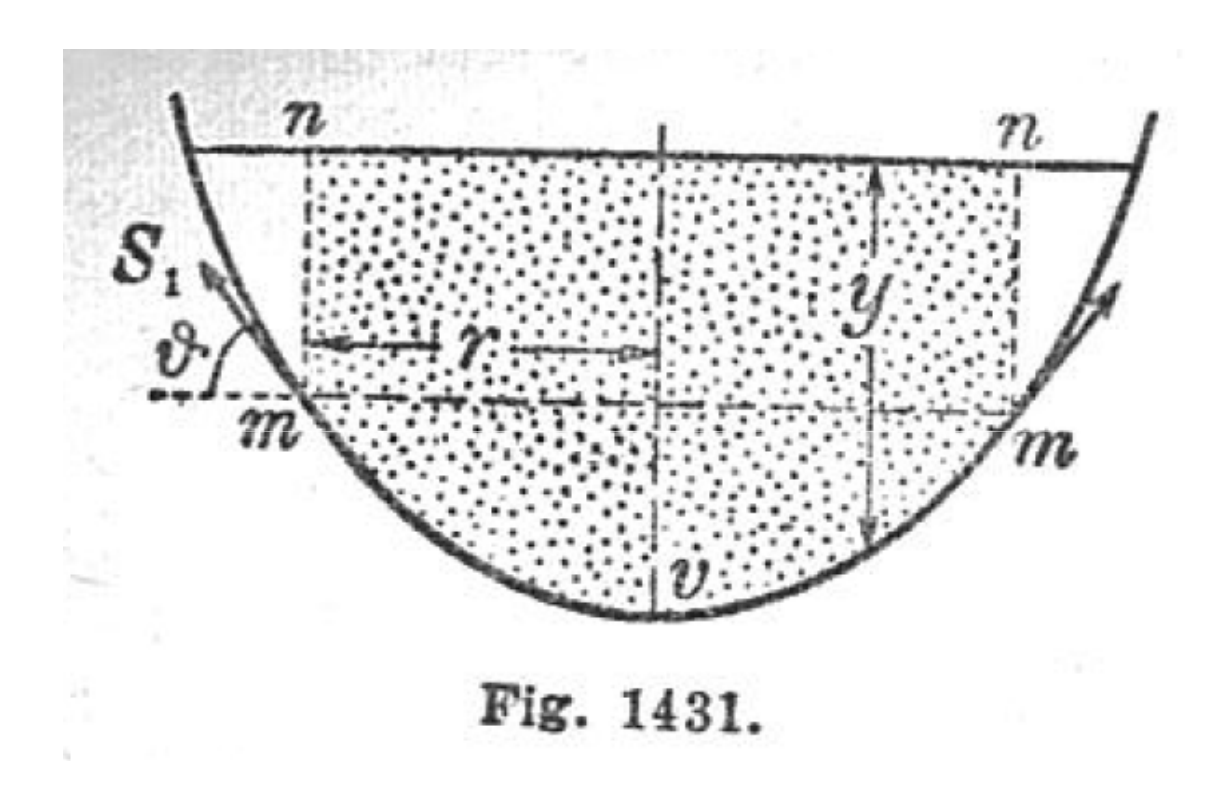
$$S_2 = \frac{pR}{2}(2 - \frac{R}{R_1}) \Rightarrow S_2 = pR$$

Le tensioni diventano (formula di Mariotte dei tubi sottili)

$$\sigma_1 = \frac{pR}{2s} \qquad \sigma_2 = \frac{pR}{s} = 2\sigma_1$$

## Casi particolari: serbatoi per liquidi

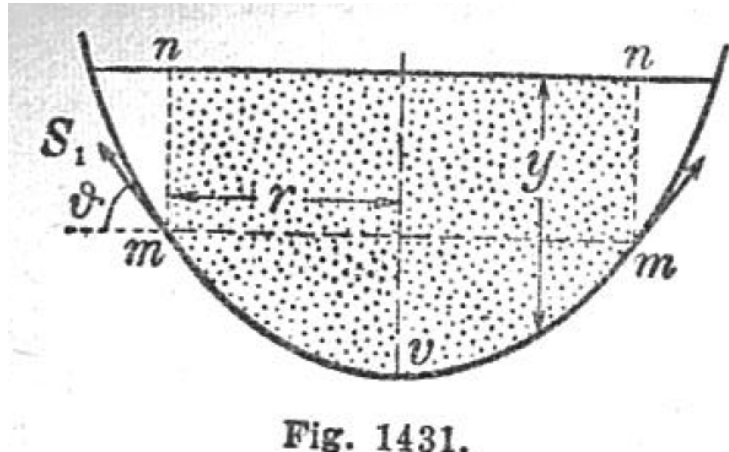
Belluzzi III pag 255-258



Sia  $\gamma$ 1 il peso specifico del liquido

### Casi particolari: serbatoi per liquidi

Belluzzi III pag 255-258

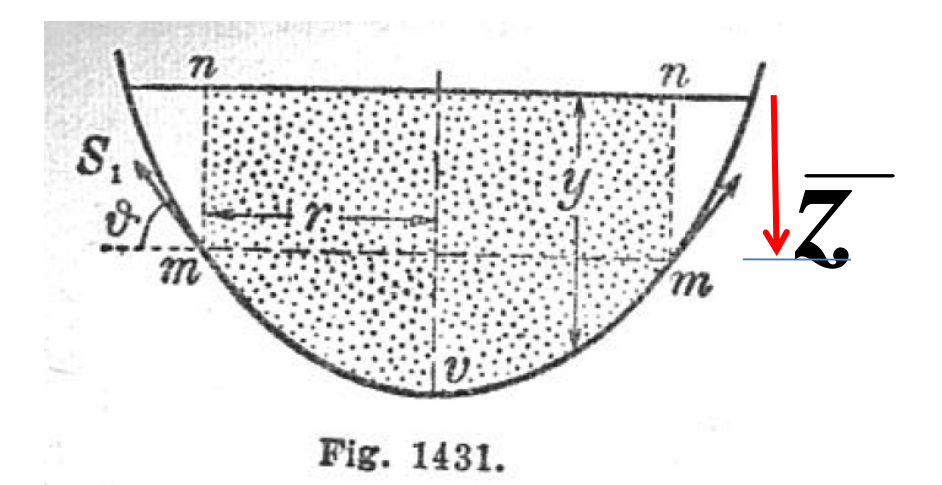


Tagliato il serbatoio con un piano orizzontale mm, la risultante Q delle pressioni agenti sulla parete sottostante è= al peso  $\gamma$ , V del volume V di liquido punteggiato in figura. Da cui

$$S_1 = \frac{\gamma_1 V}{2\pi r \sin \theta} = \frac{\gamma_1 V}{2\pi R_2 \sin^2 \theta}$$

#### Casi particolari: serbatoi per liquidi

Belluzzi III pag 255-258

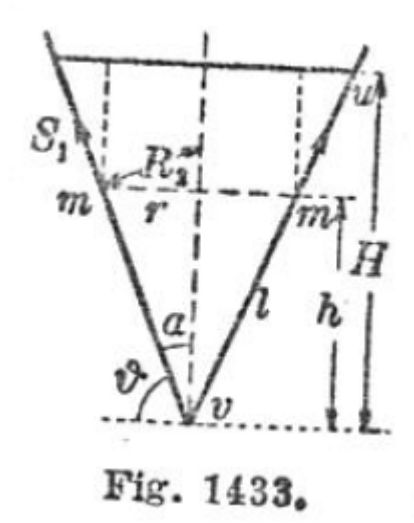


La S2 si calcola noto S1 come

$$S_1 = \frac{\gamma_1 V}{2\pi r \sin \theta} = \frac{\gamma_1 V}{2\pi R_2 \sin^2 \theta}$$

$$S_2 = R_2(-\frac{S_1}{R_1} + p_N) = R_2(-\frac{S_1}{R_1} + \gamma_1 \overline{z})$$

### Casi particolari: tramoggia

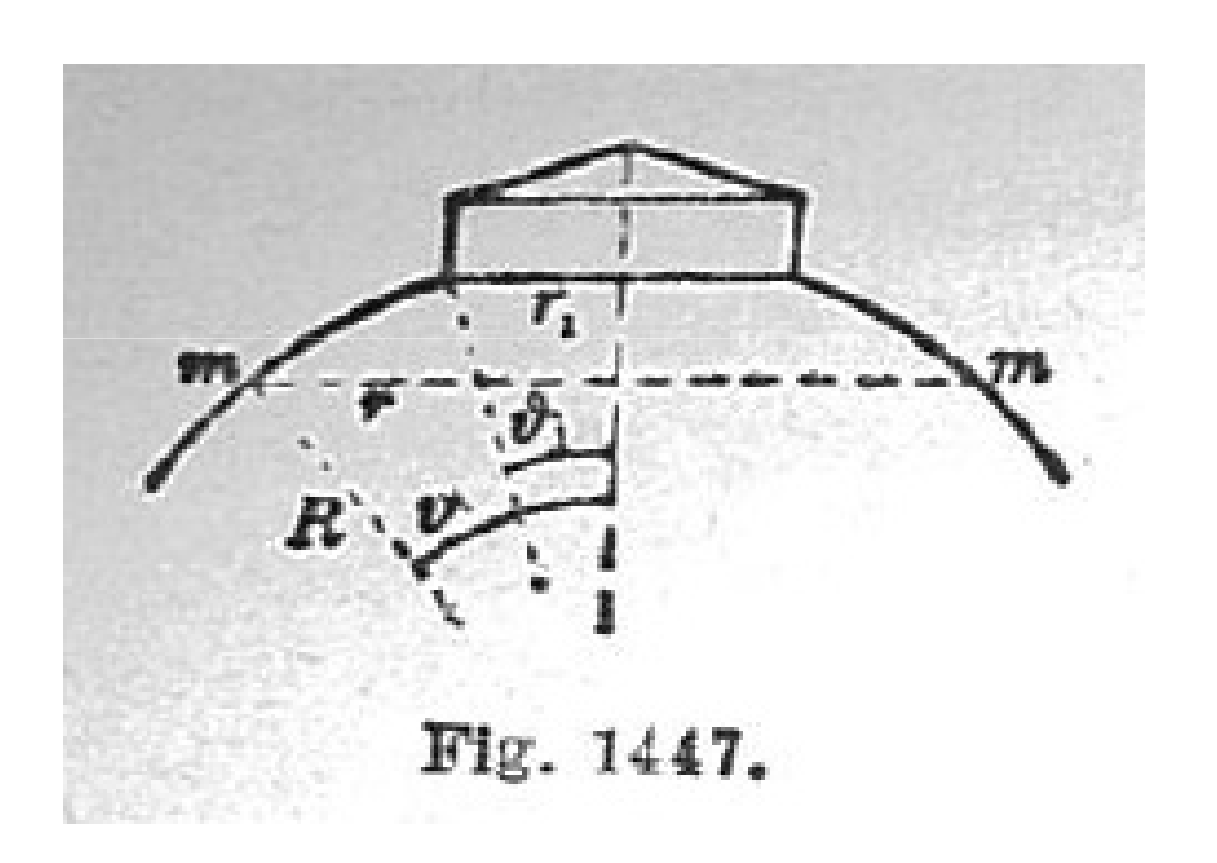


Esercizio 1277. – Determinare l'angolo  $\alpha$  che deve avere un serbatoio conico di data capacità V, affinchè il volume v della lamiera risulti minimo.

 $a = \sim 35^{\circ}$ .

### Casi particolari: cupola con lanterna

Esercizio 1294. - Cupola sferica con lanterna (fig. 1447).



#### Casi particolari: cupola ogivale

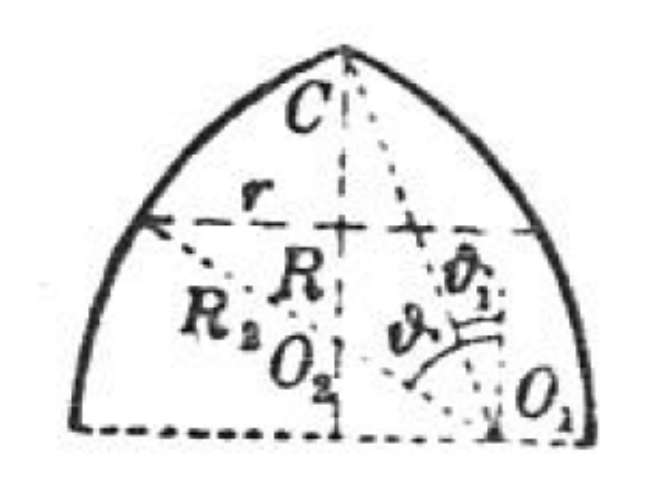
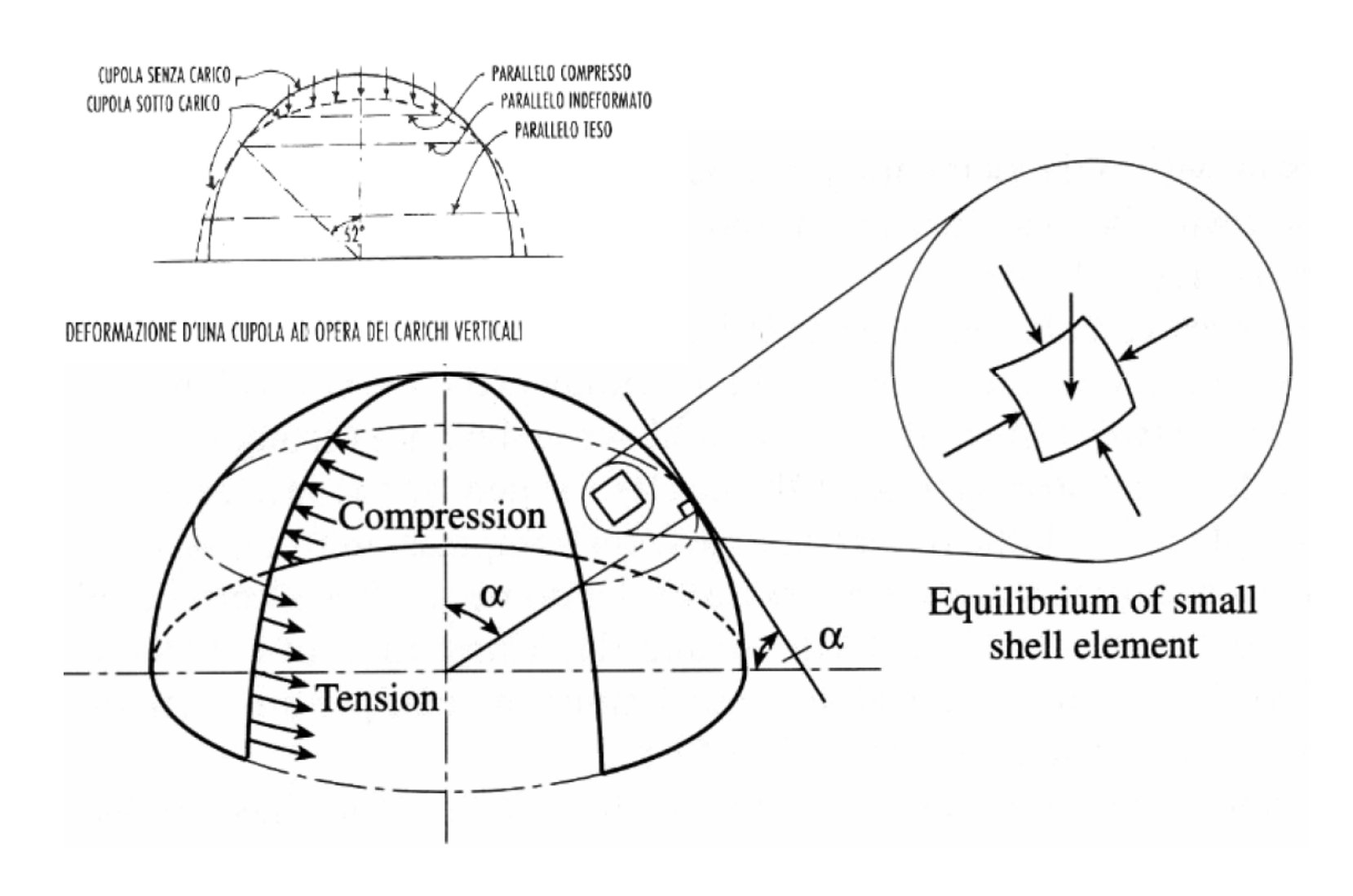
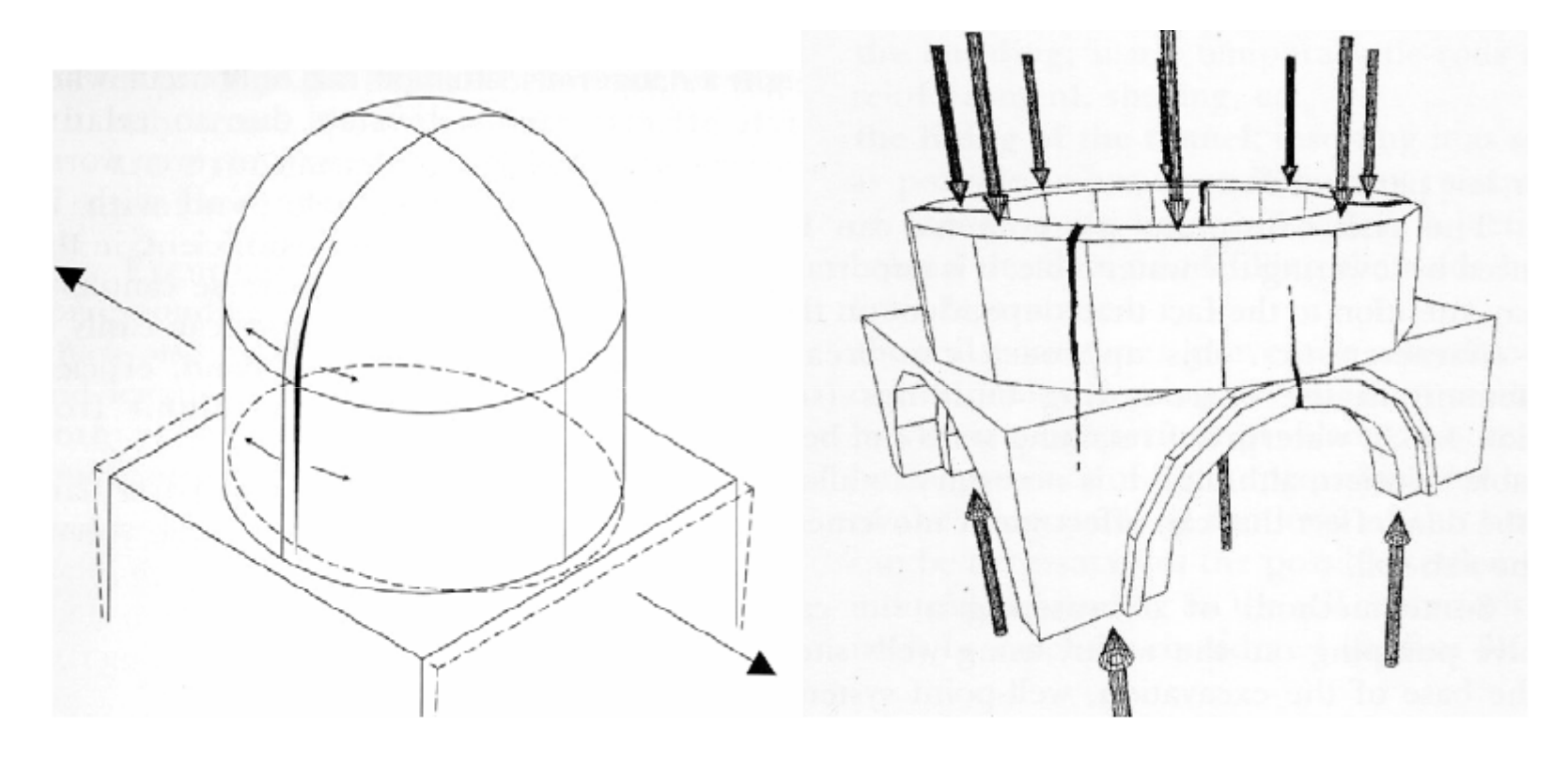


Fig. 1448.

Esercizio 1296. – Il meridiano di una cupola è un arco circolare, interrotto in un punto C nel quale l'inclinazione è  $\theta_1$ , così che ivi risulta una cuspide (fig. 1448). Determinare gli sforzi provocati dal peso proprio, essendo lo spessore costante.

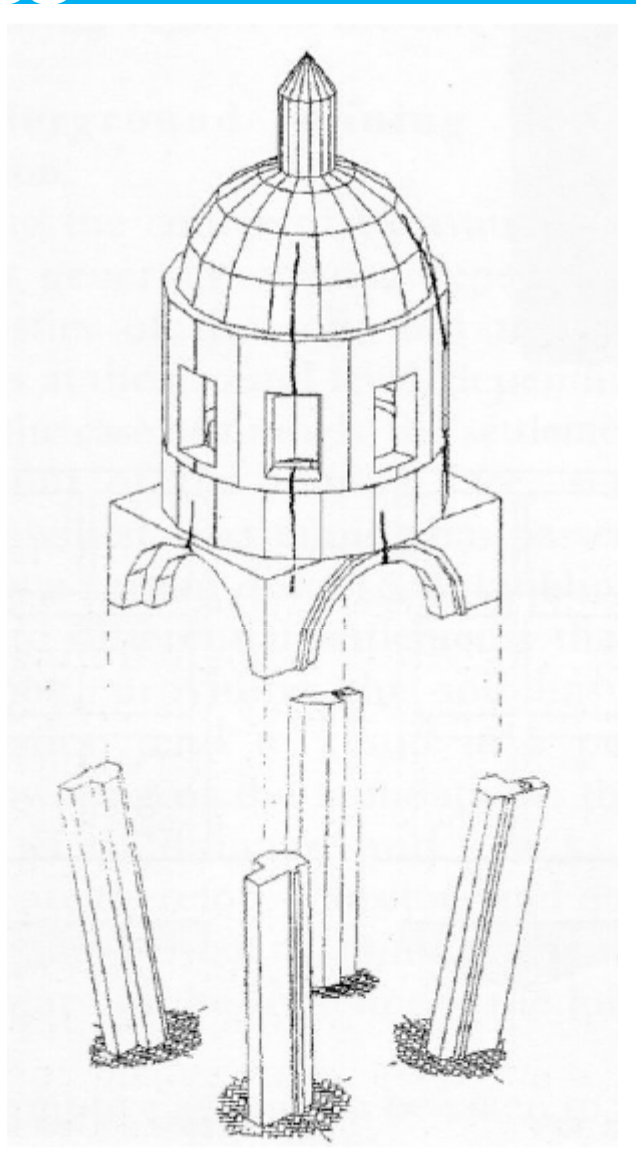




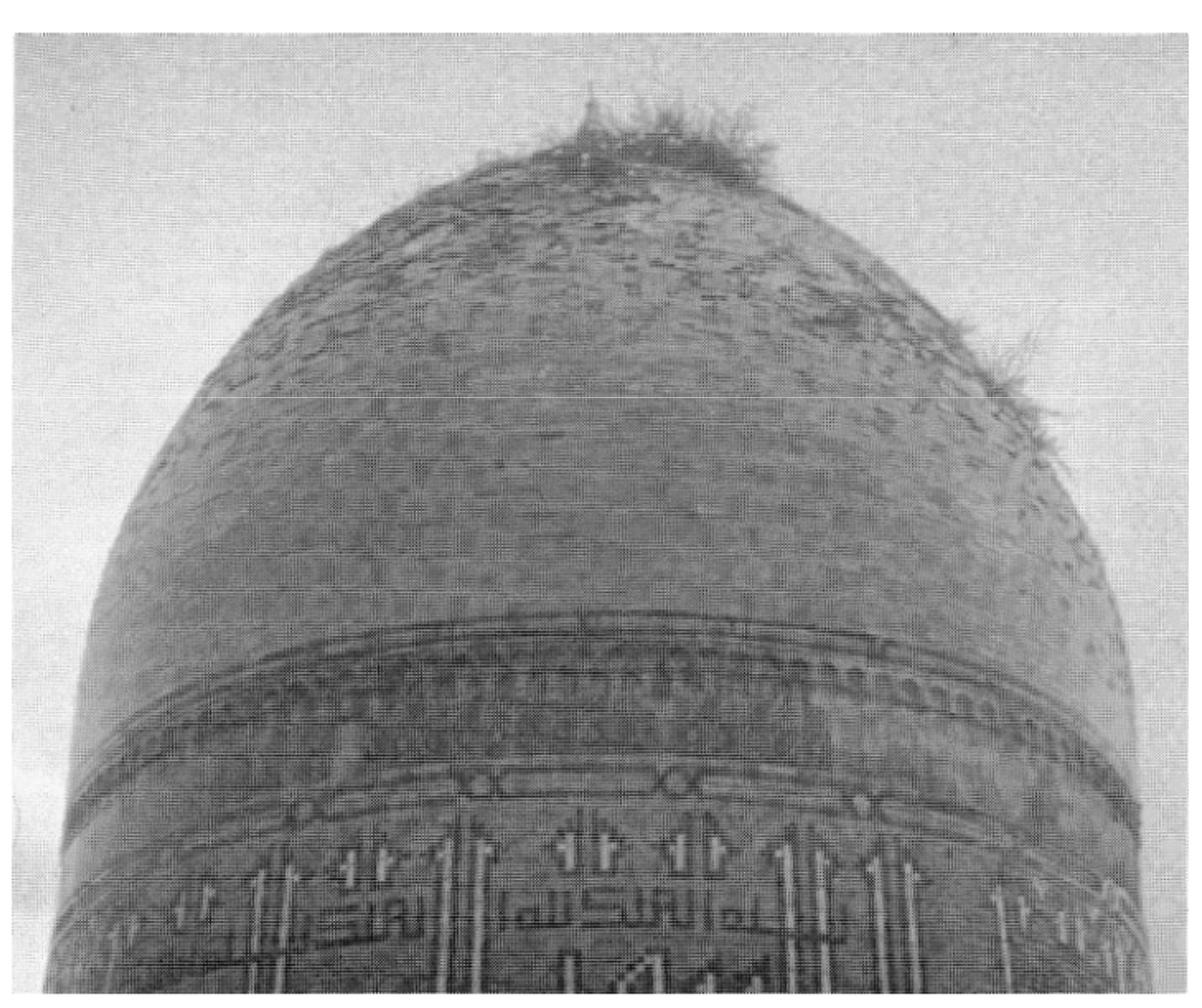
Assestamento delle imposte

Tamburo inefficiente

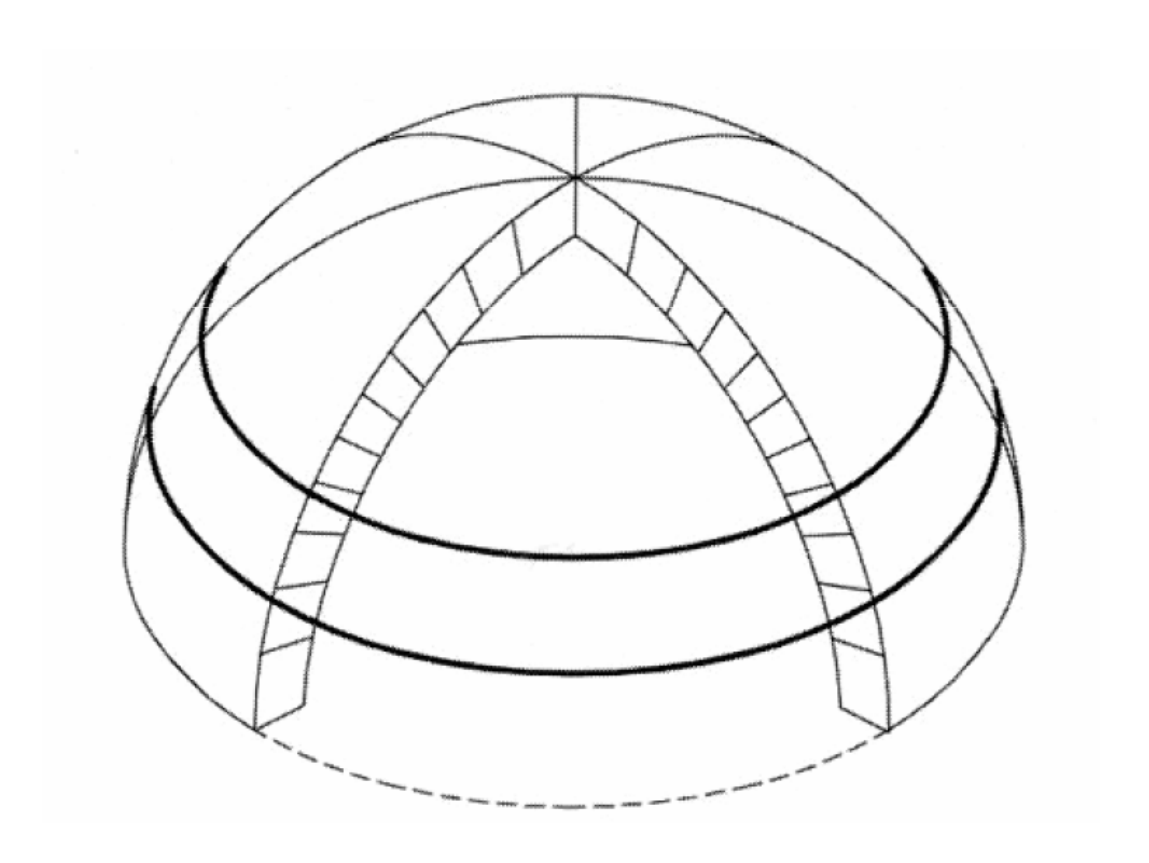
Traslazione dei pilastri/muri di supporto



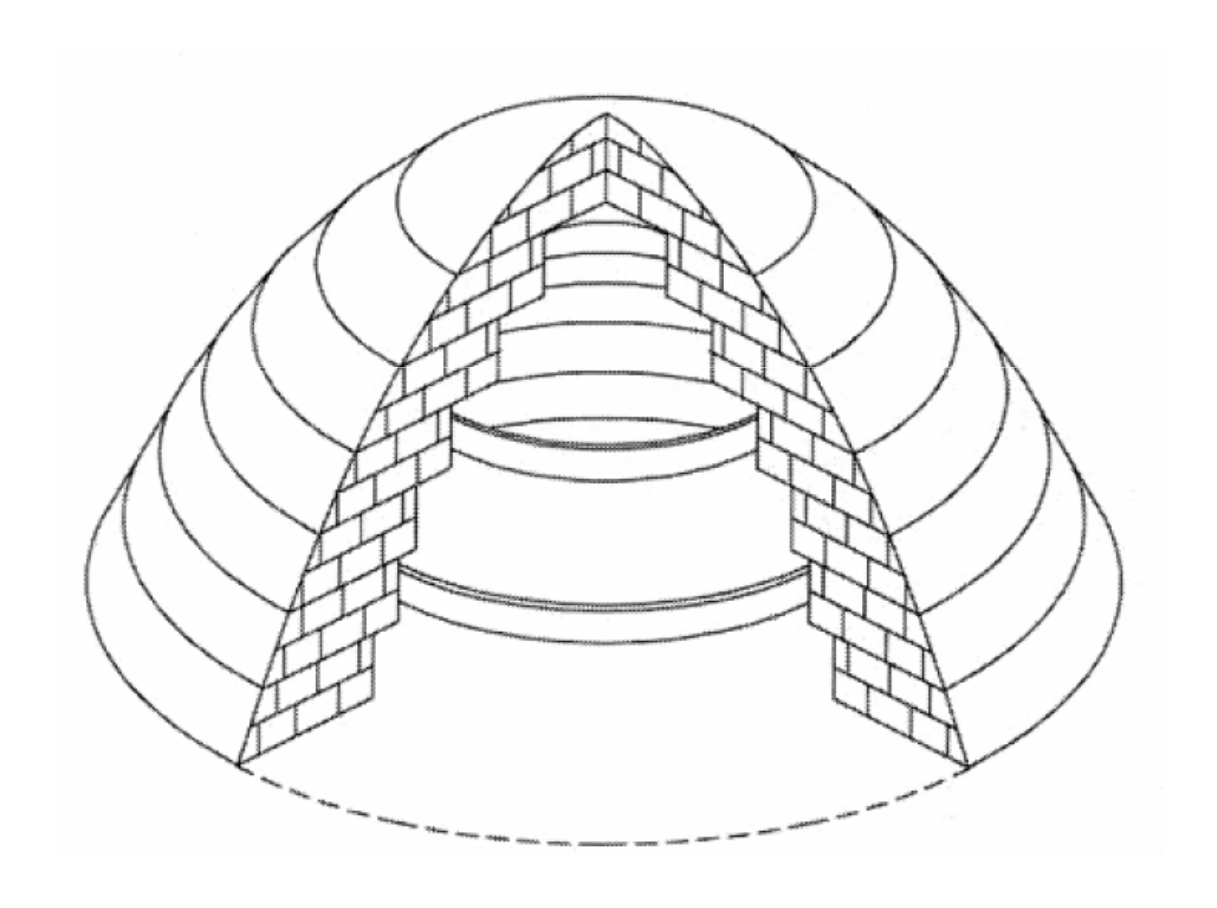
#### Effetti biologici Es piante..



#### Cerchiatura cupola

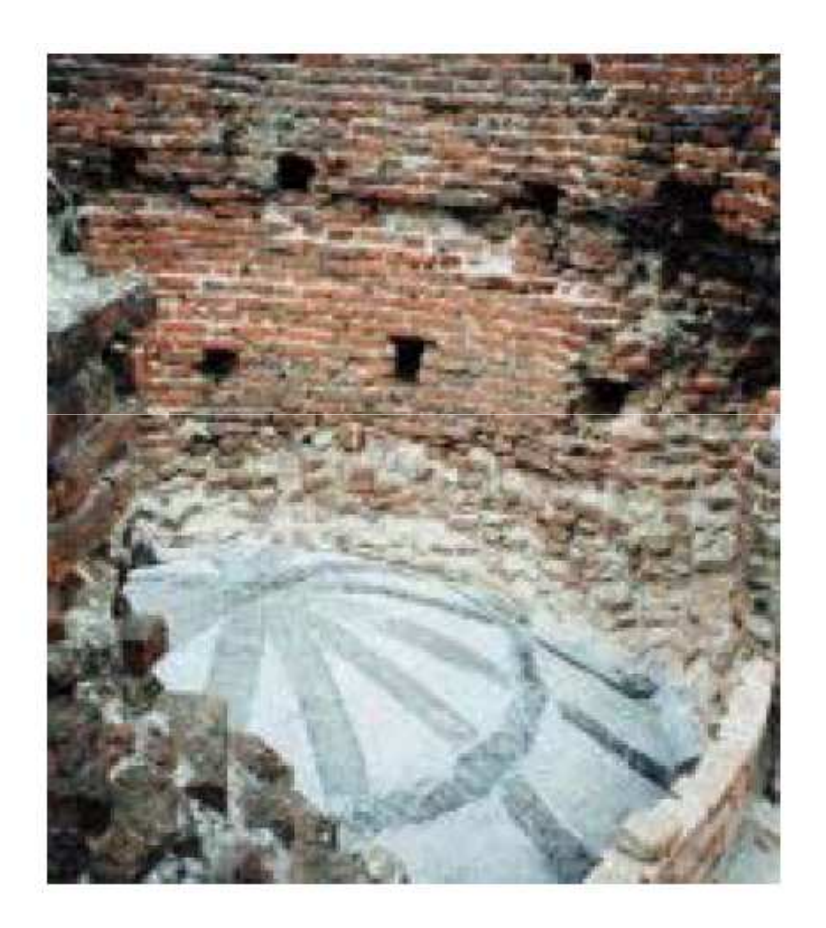


Anelli di rinforzo per false volte

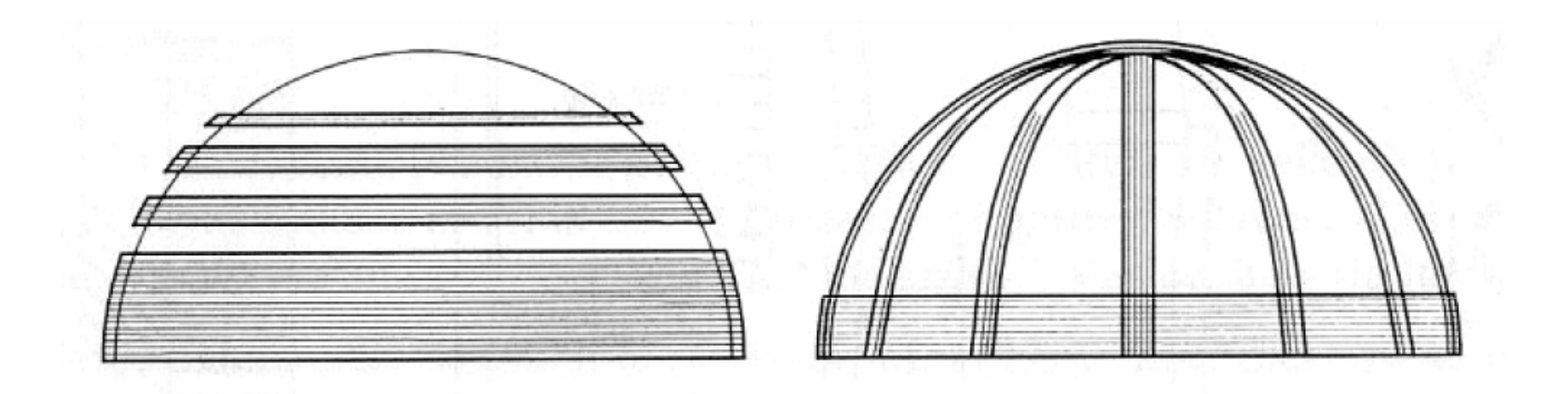


#### Cerchiatura cupola con FRP





#### Cerchiatura cupola con FRP



Cerchiatura cupola San Carlo, Roma

